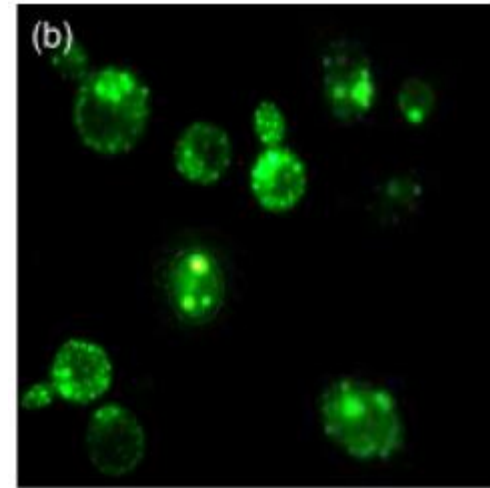
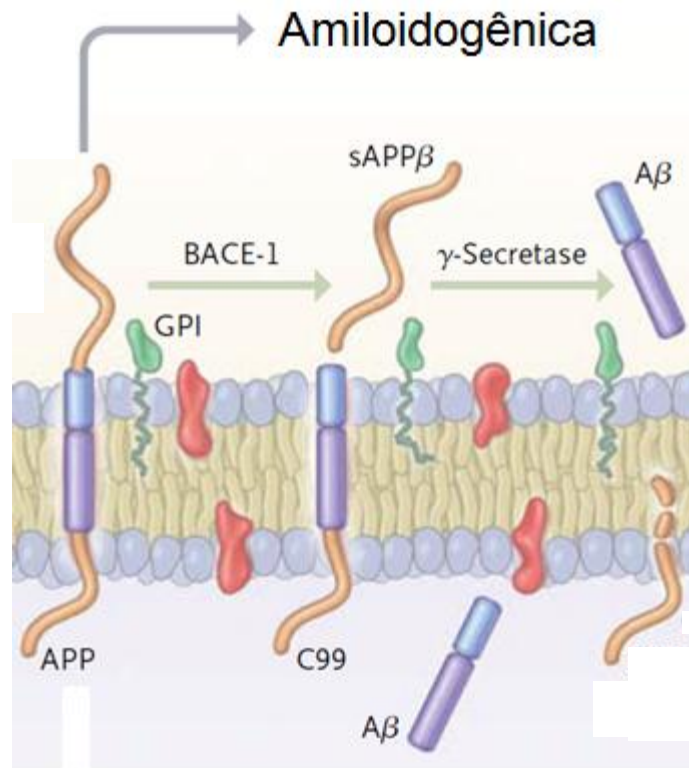


BMM5828/BTC5819 - Utilização de *Saccharomyces cerevisiae* como organismo modelo em biologia molecular

Saccharomyces cerevisiae como modelo de doenças neurodegenerativas



GFP-A β

Objetivos

1. Introduzir mecanismos moleculares da Doença de Alzheimer (agregação das proteínas β A42 e Tau);
2. Modelos para o estudo da doença de Alzheimer em levedura;
3. Introduzir conceitos sobre a Doença de Parkinson;
4. Modelos para o estudo da Doença de Parkinson em levedura;
5. Introduzir conceitos sobre a Doença de Huntington;
6. Modelos para o estudo da Doença de Huntington em levedura

Mecanismos moleculares da Doença de Alzheimer (agregação das proteínas β A42 e Tau)

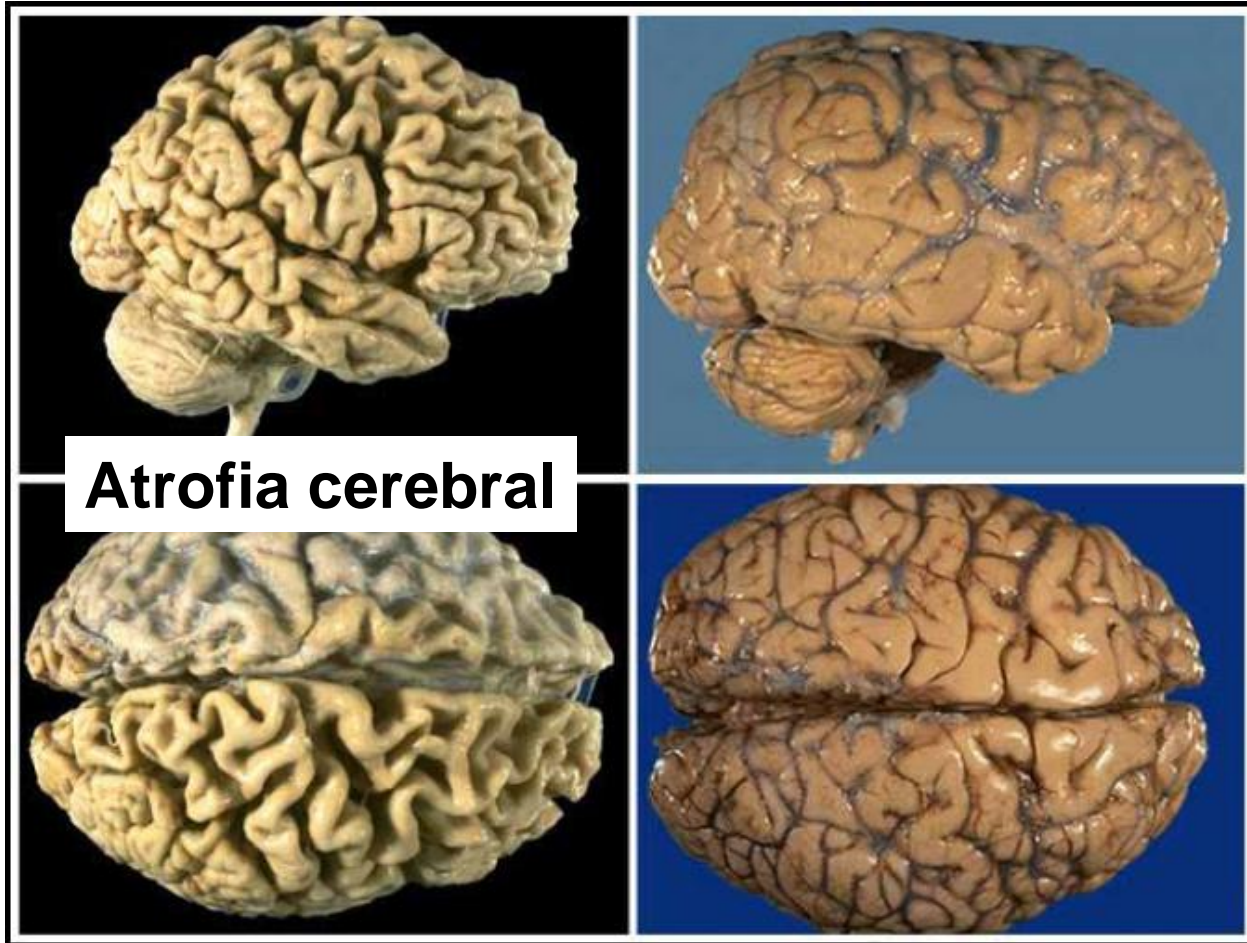
Critério clínico para diagnóstico da Doença de Alzheimer

Declínio progressivo de funções cognitivas:

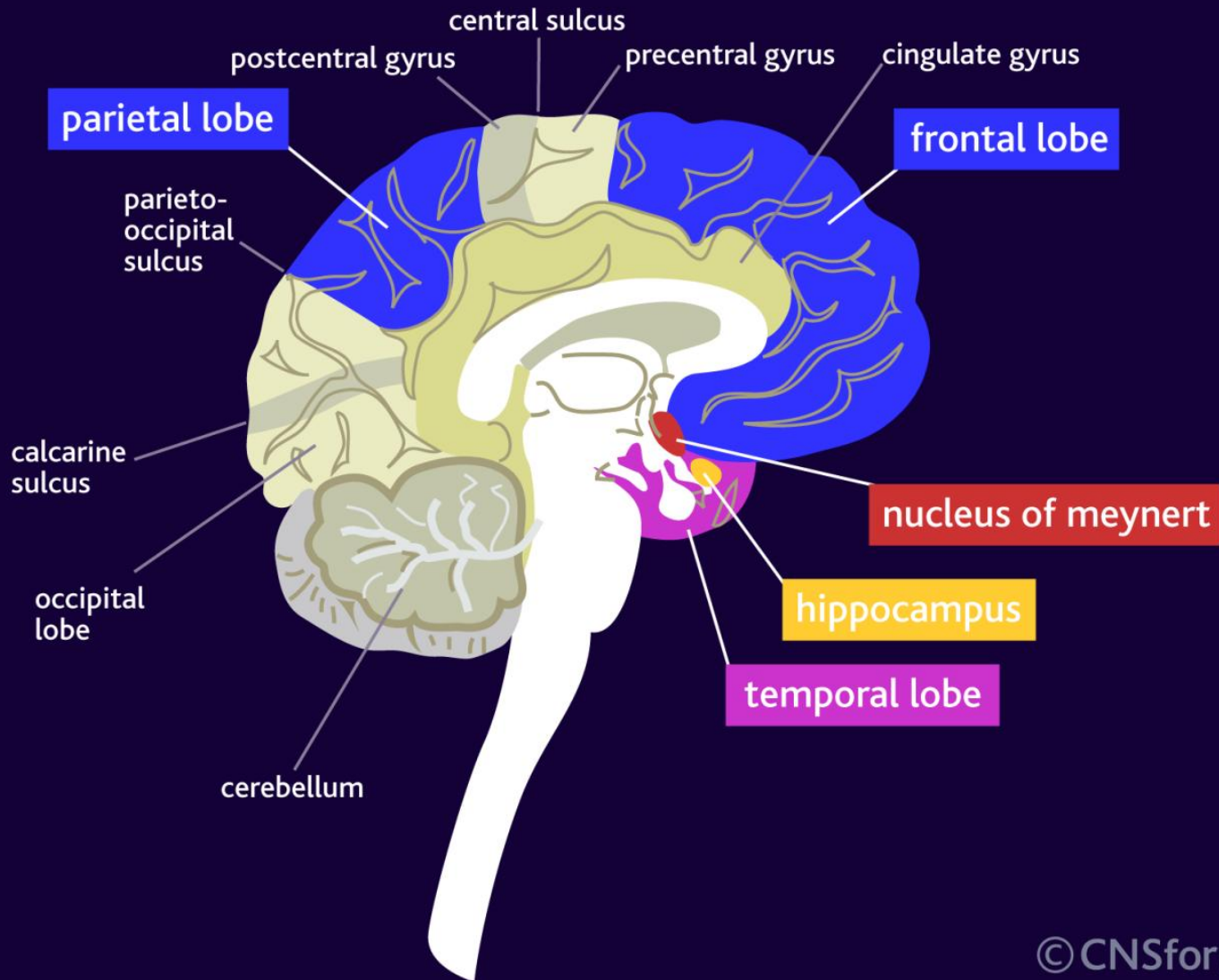
- ❖ Aprendizado de novas informações
- ❖ Resgate de informações antigas
- ❖ Afasia, apraxia, agnosia, perda da capacidade de organizar, planejar e executar atividades cotidianas
- ❖ Alterações graduais tornam-se mais severas
- ❖ Excluir outras condições que acusam demência: doença de Parkinson, Huntington, hipotireoidismo etc

Alzheimer

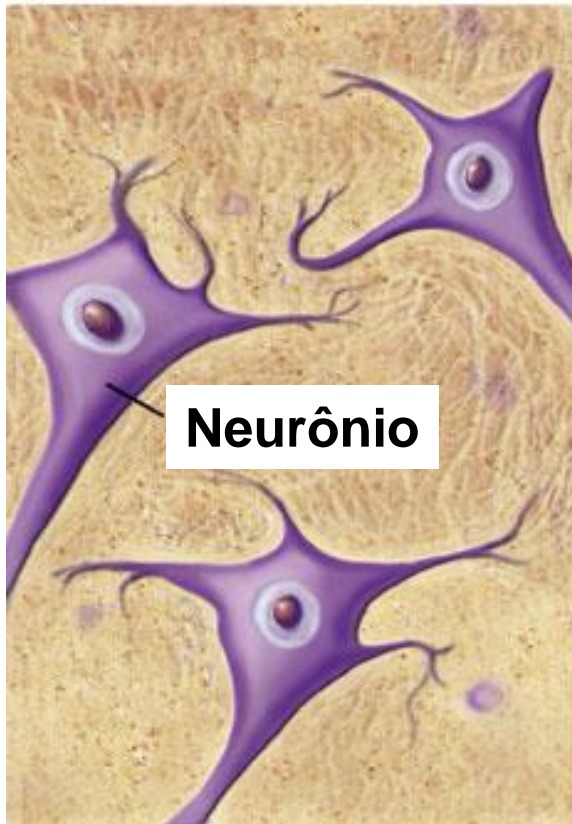
Normal



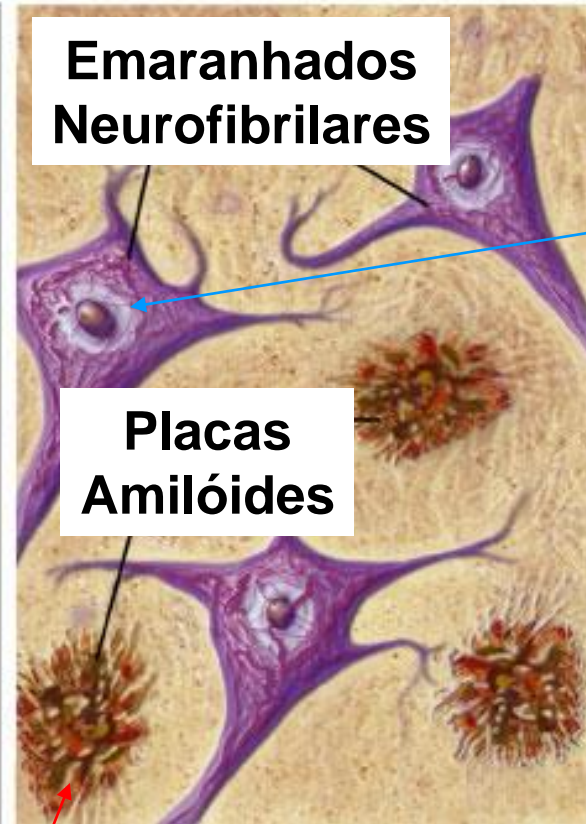
Áreas do cérebro afetadas na doença de Alzheimer



Normal

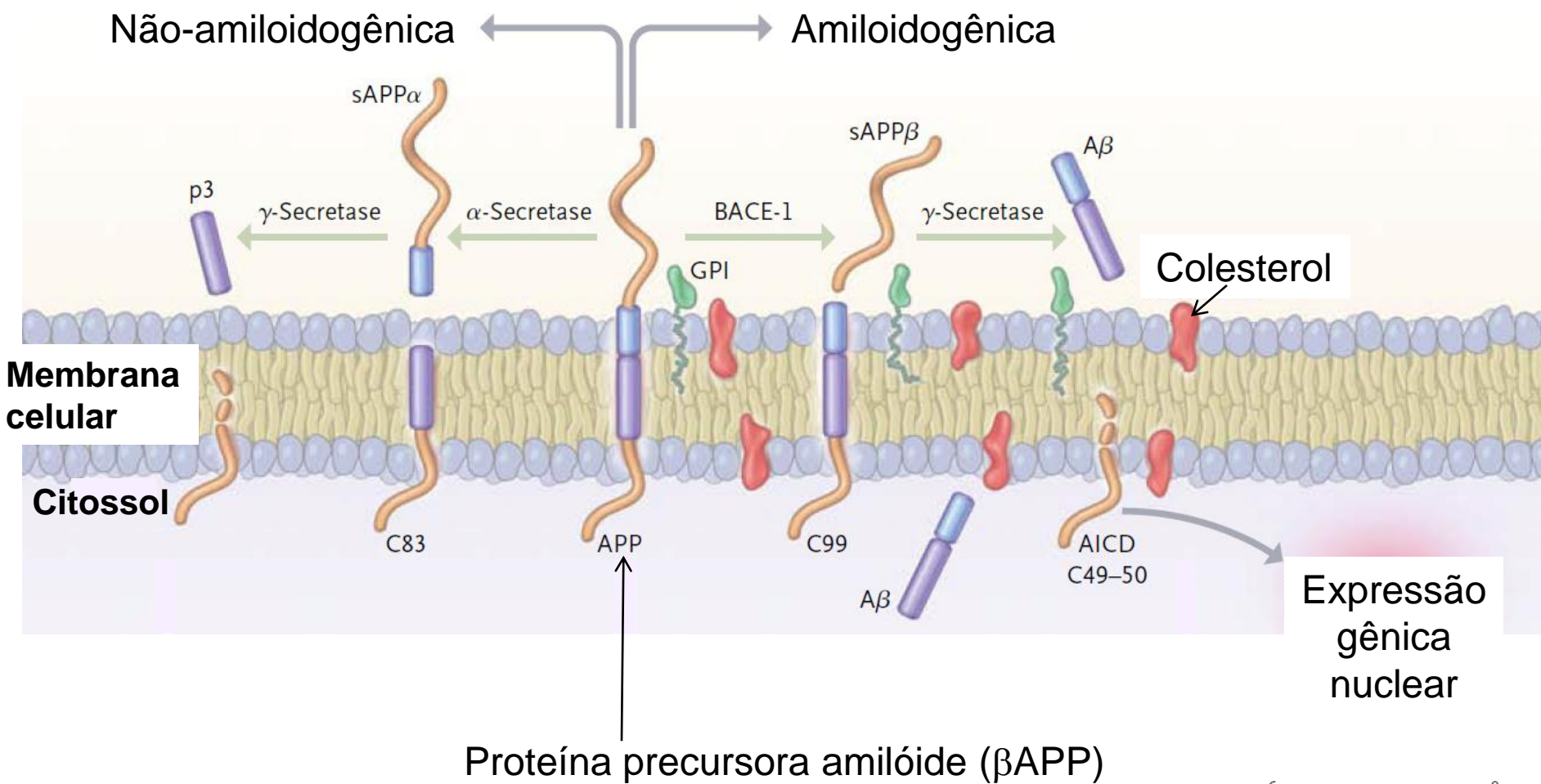


Alzheimer

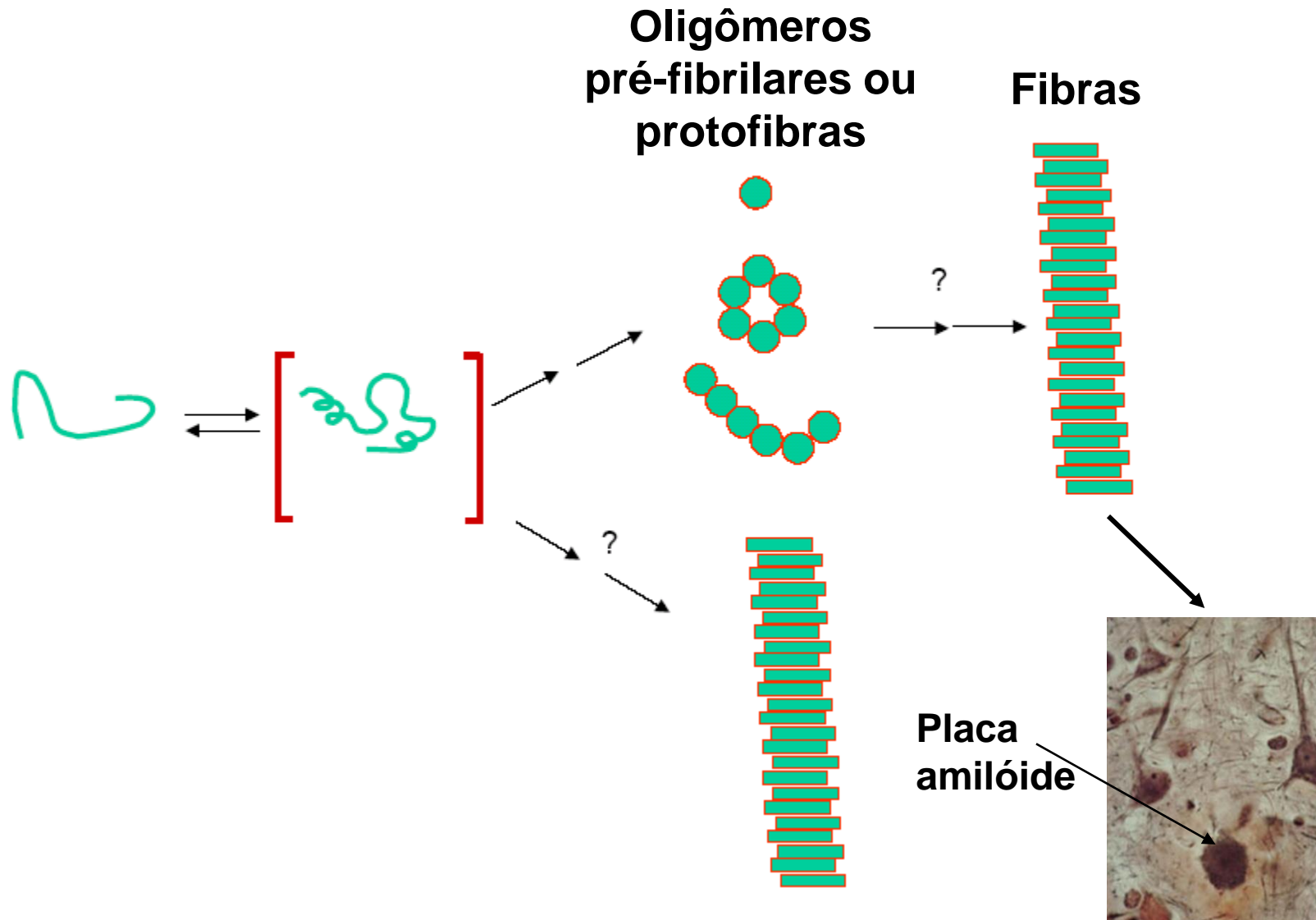


Como se formam as placas constituídas de agregados da proteína β -amilóide?

Mecanismo de clivagem da proteína β -amilóide

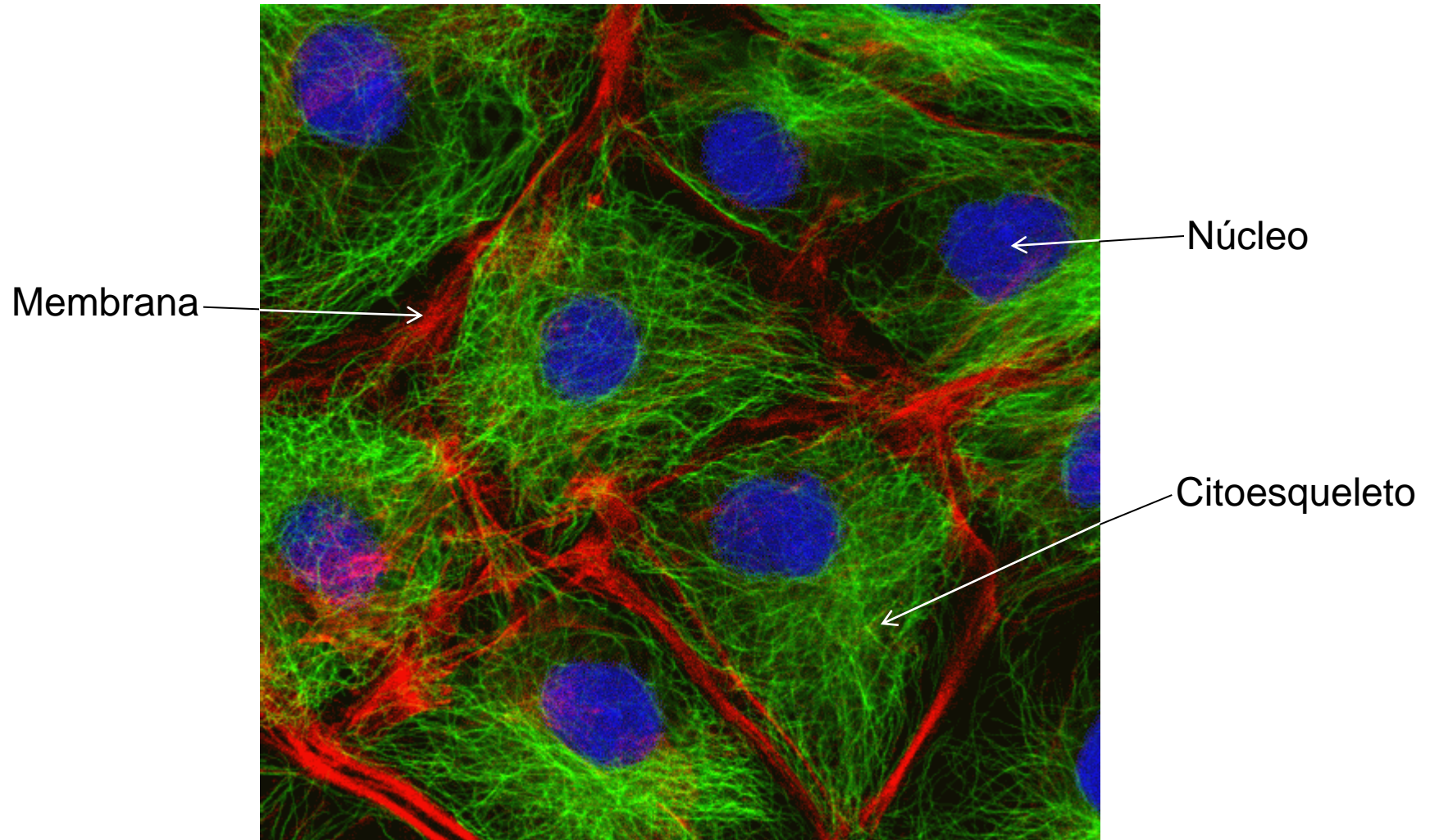


Mecanismo de agregação da proteína β -amilóide

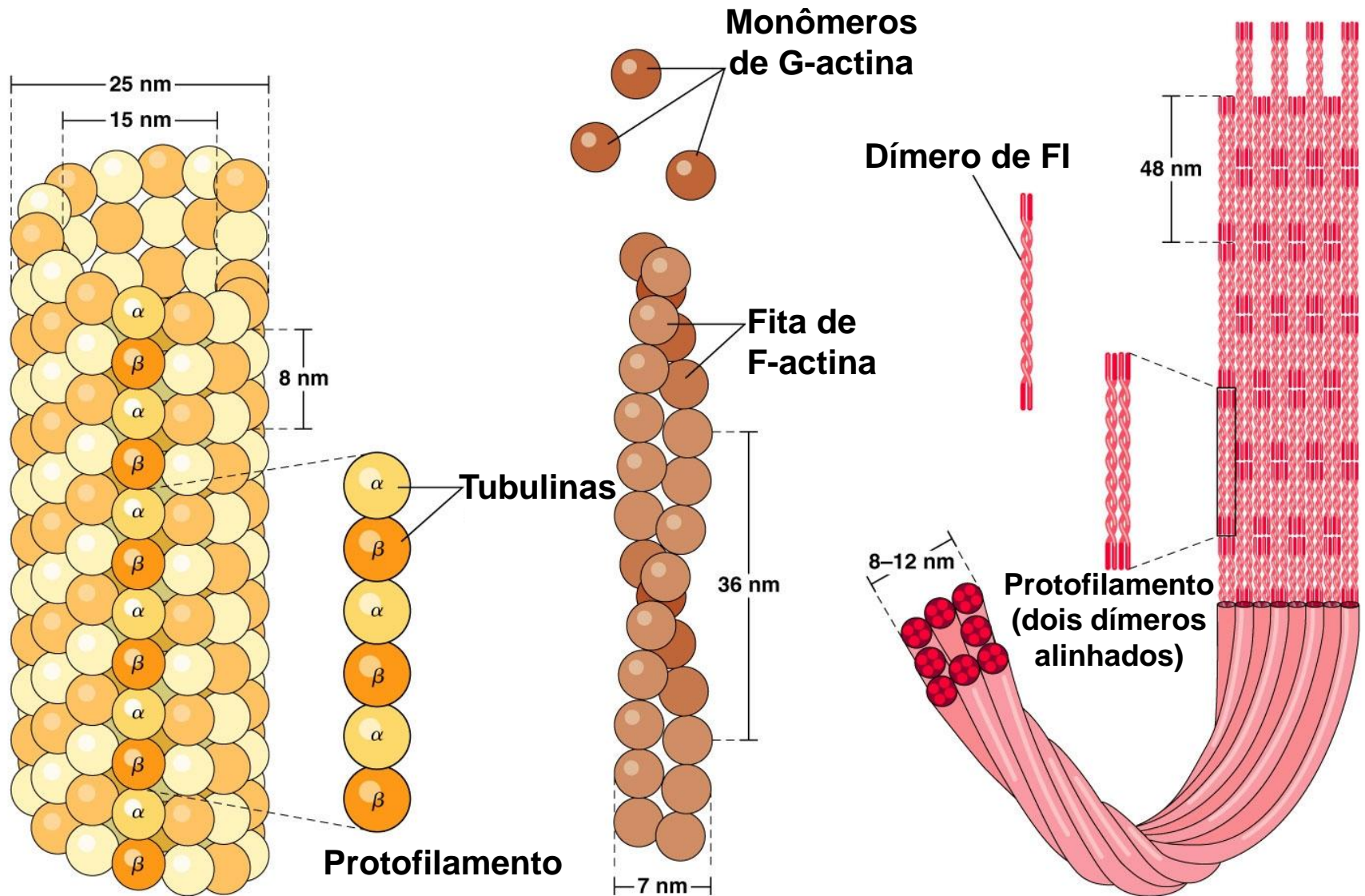


Como se formam os emaranhados neurofibrilares constituídos de agregados da proteína Tau?

O citoesqueleto mantém a estrutura da célula



Os componentes do citoesqueleto

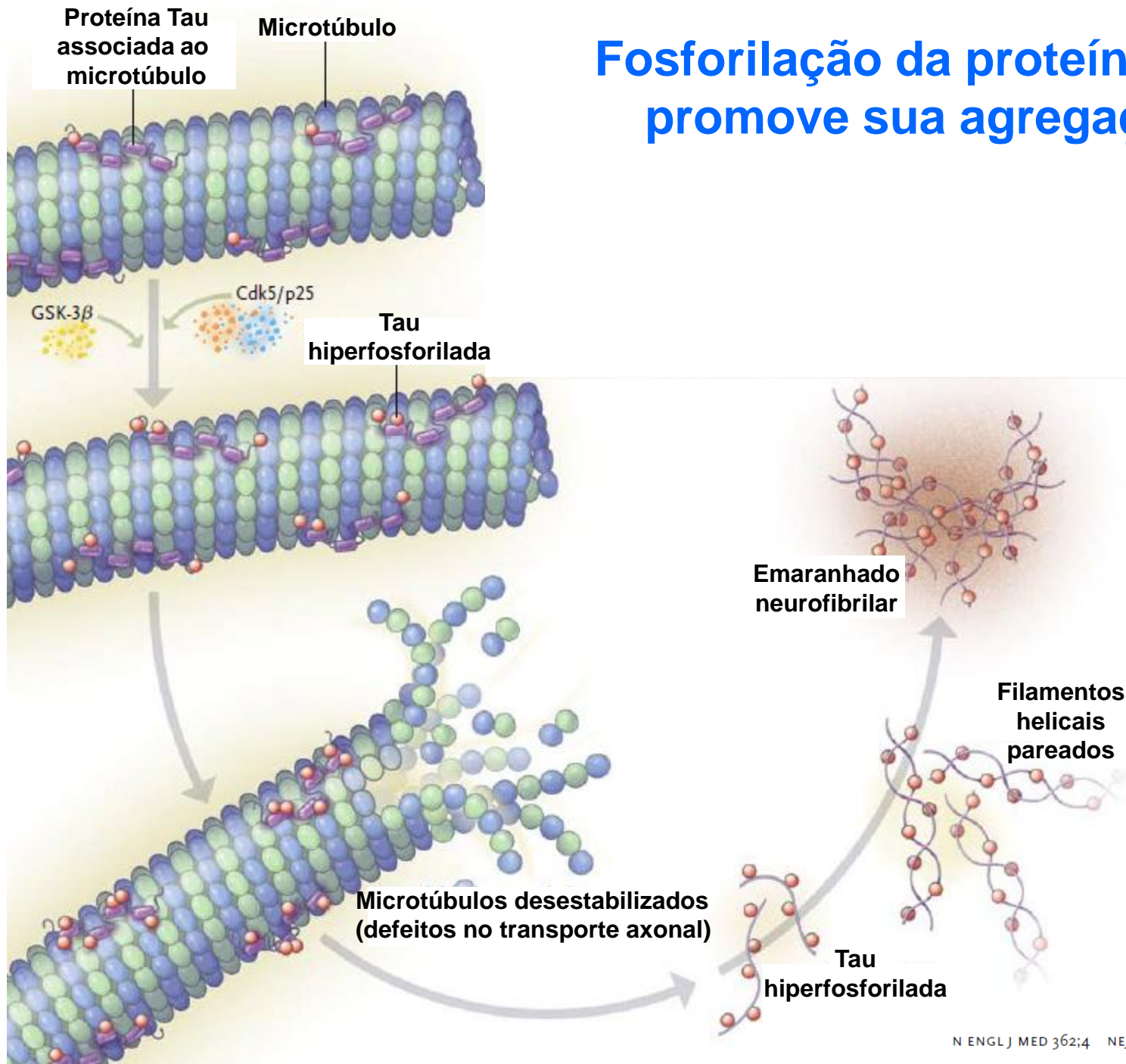


(a) **Microtúbulo**

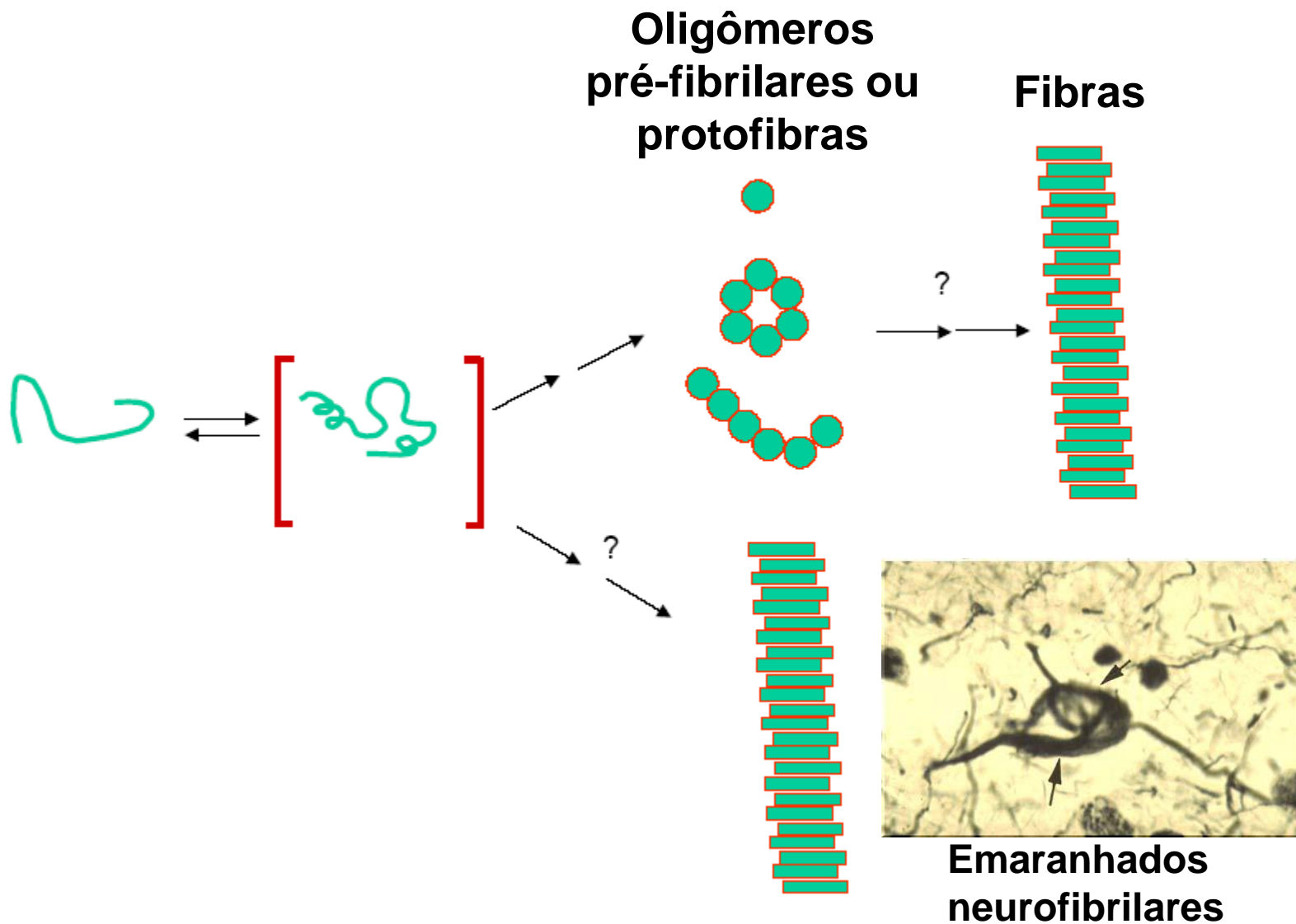
(b) **Microfilamento**

(c) **Filamento intermediário**

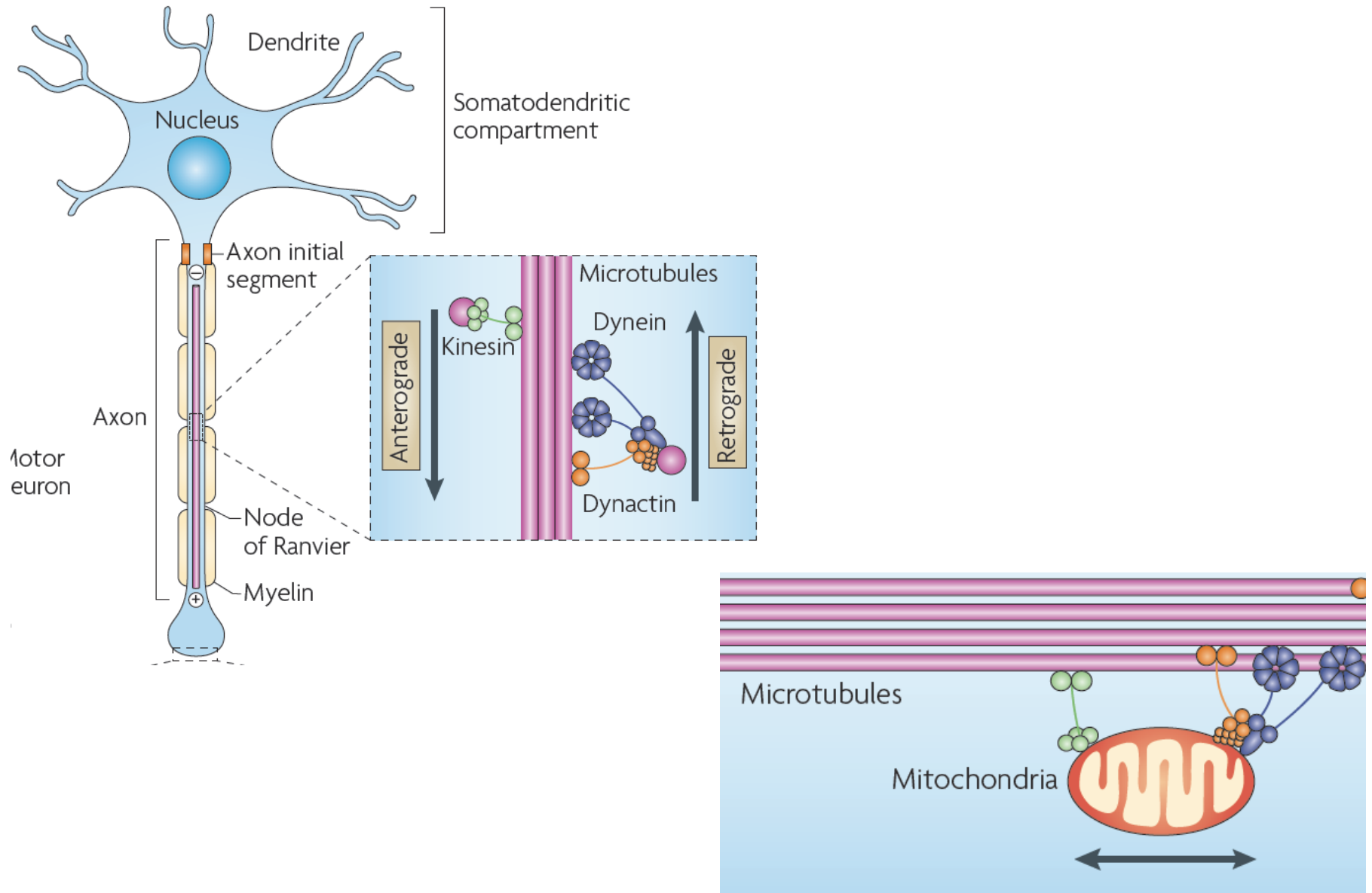
Fosforilação da proteína Tau promove sua agregação



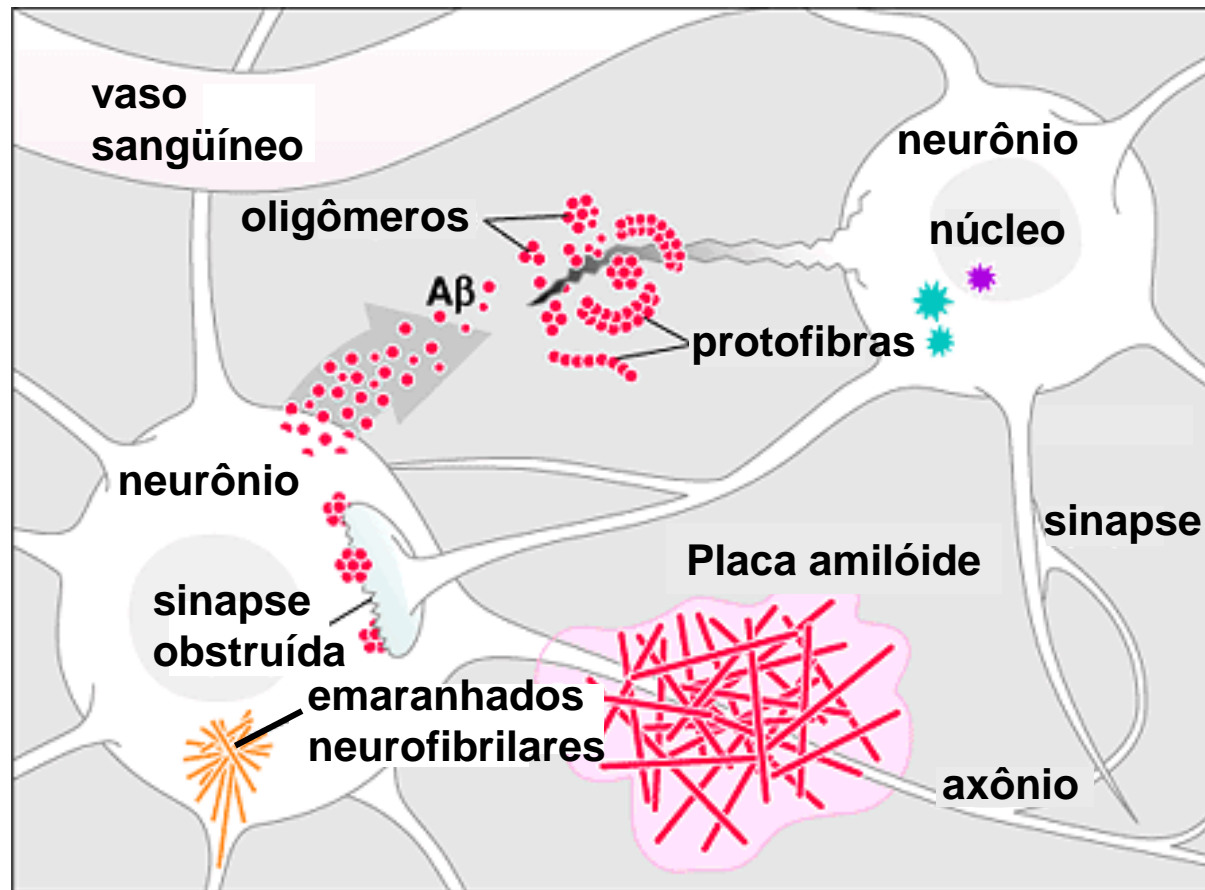
Mecanismo de agregação da Tau



A mitocôndria é transportada nos microtúbulos



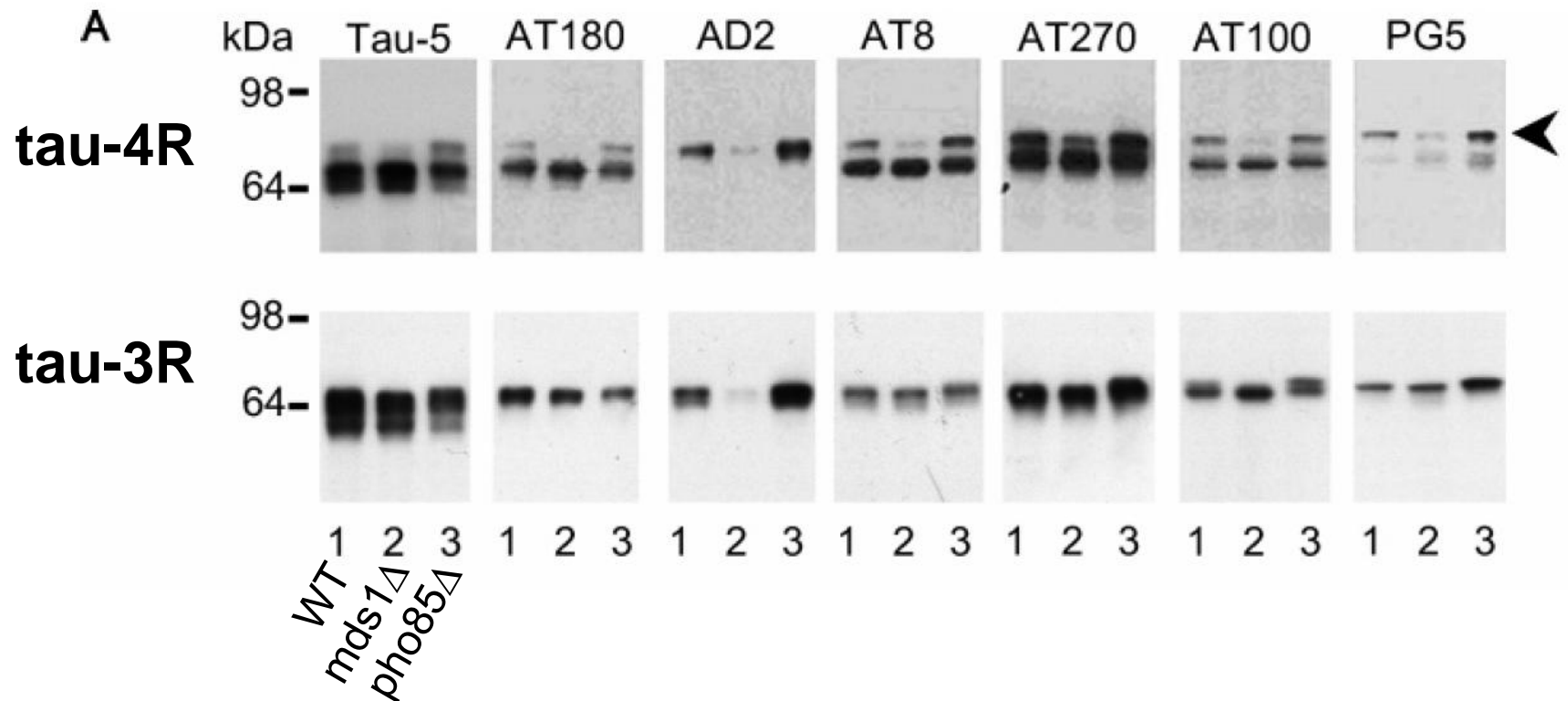
Como os agregados de A β 42 causam lesão neuronal?



Budding yeast models to study effects of Tau

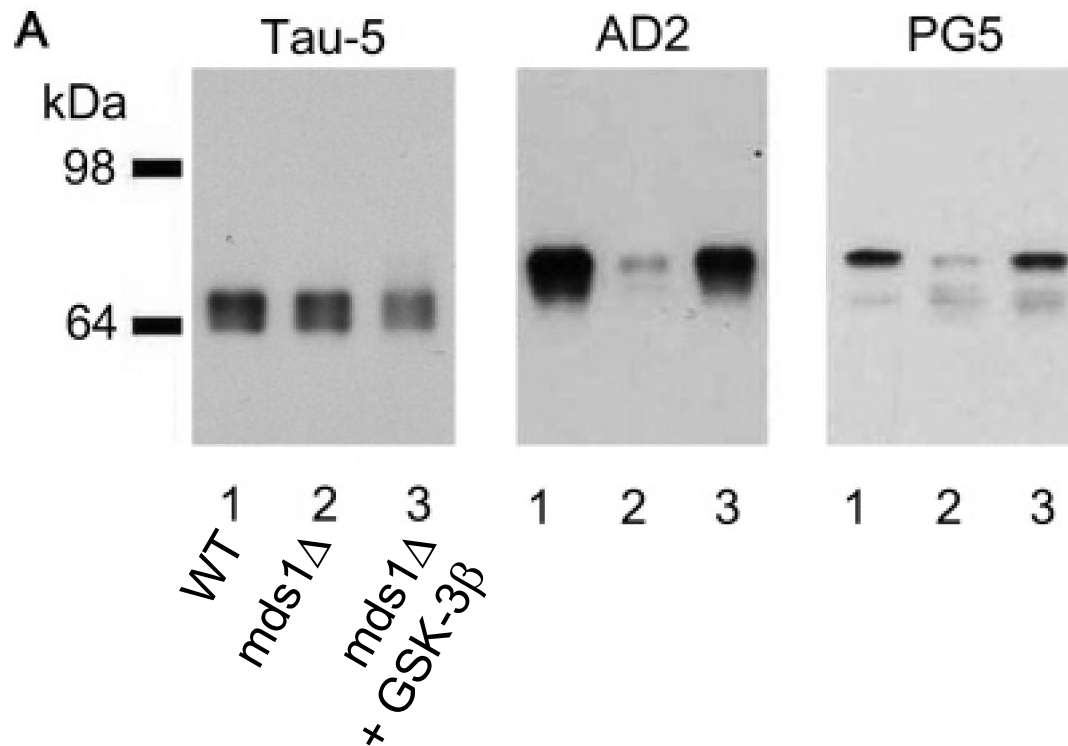
Human Protein Tau-4R Becomes Hyperphosphorylated in Yeast.

1. Human tau-4R and tau-3R did not affect growth rate
2. Alkaline phosphatase treatment reduced the tau-3R and tau-4R subspecies to single proteins

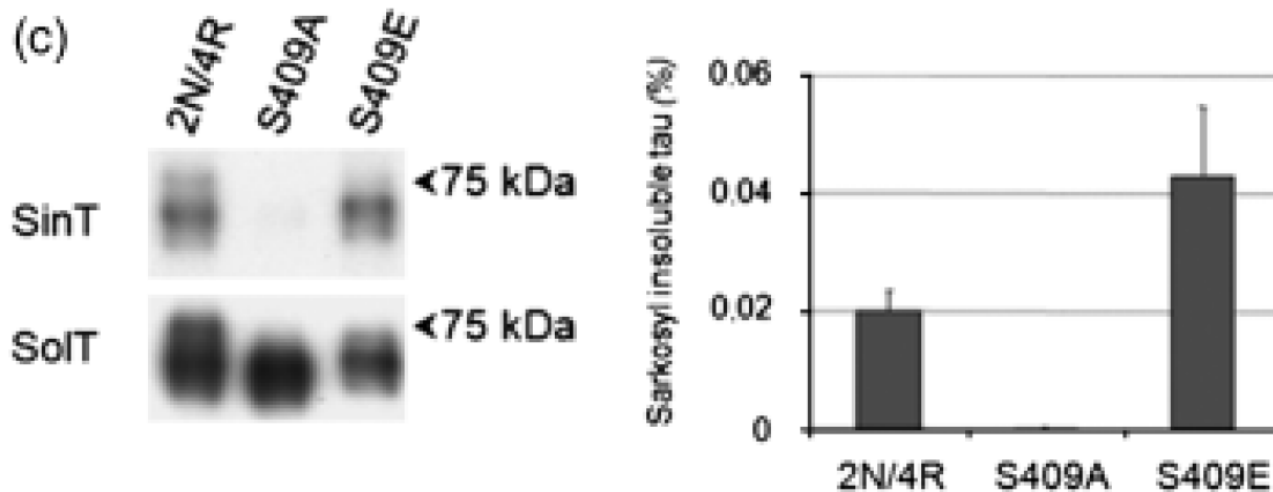
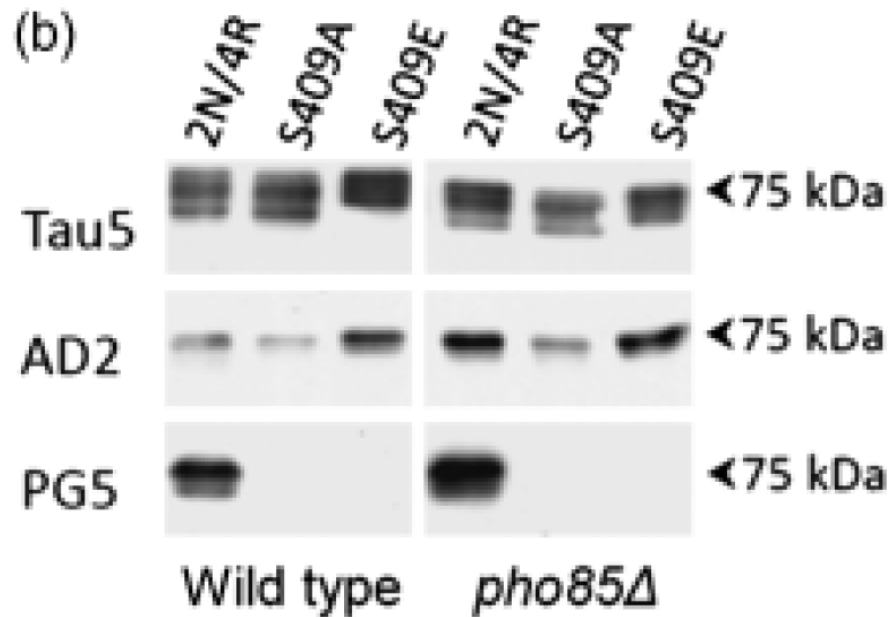


Decrease of epitopes AD2 and PG5 in *mds1* Δ yeast is restored by human GSK-3 β [S9A]

1. Mds1 is an orthologue of mammalian GSK-3 β

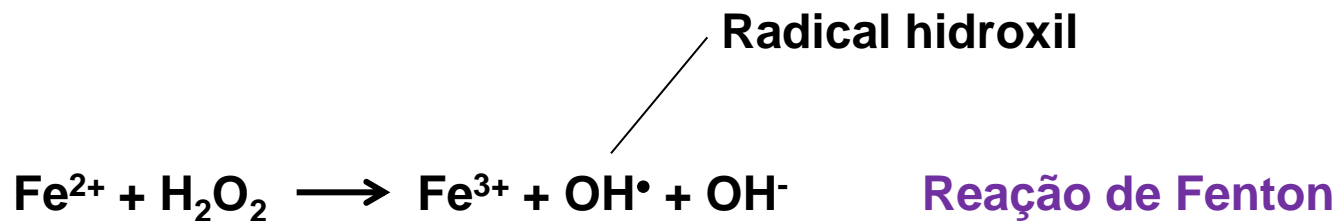
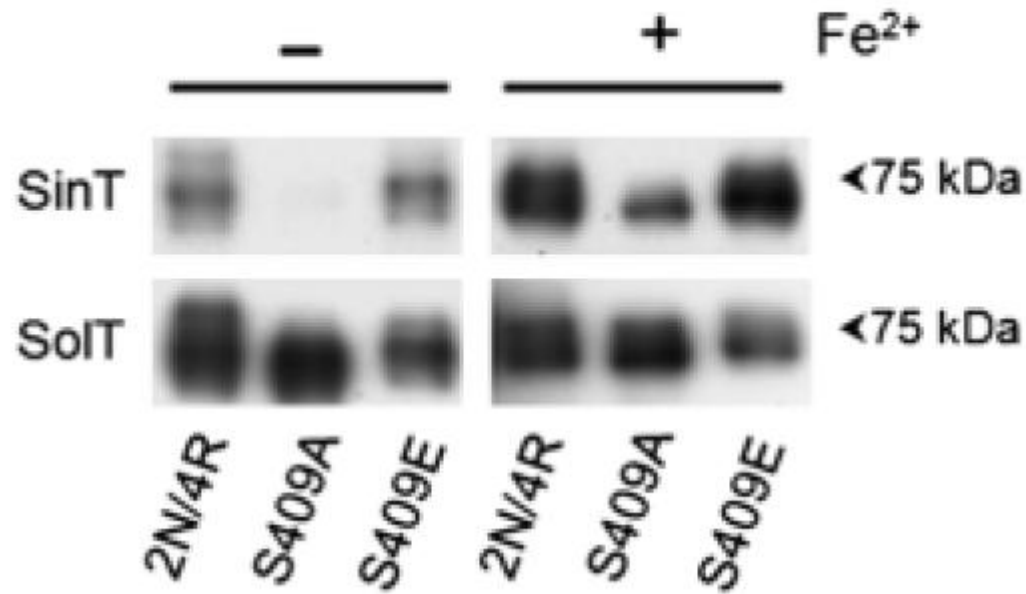


The importance of Ser409 phosphorylation for Tau aggregation.

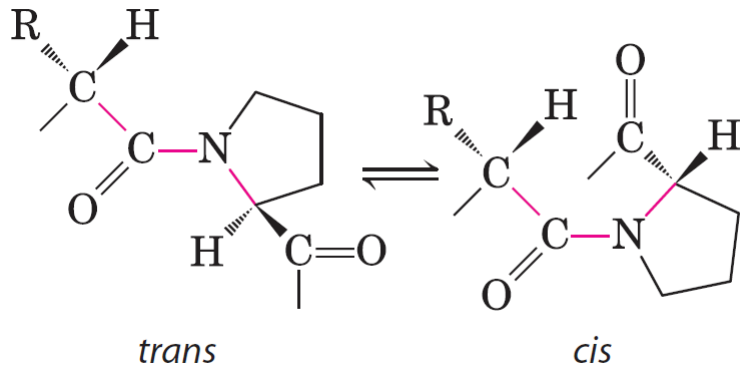


Oxidative stress triggers an aggregation mechanism parallel to hyperphosphorylation

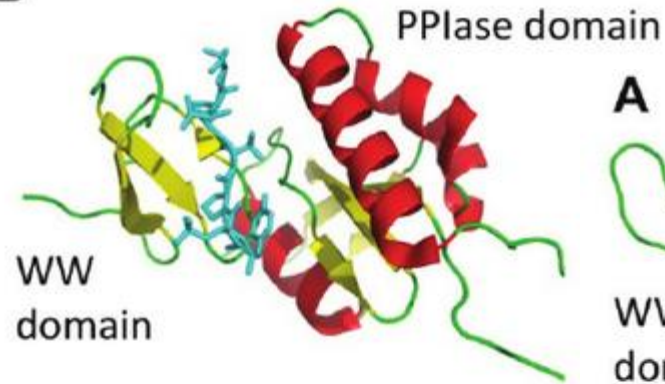
(d)



Peptidyl prolyl cis/trans isomerase (PPI) Pin1

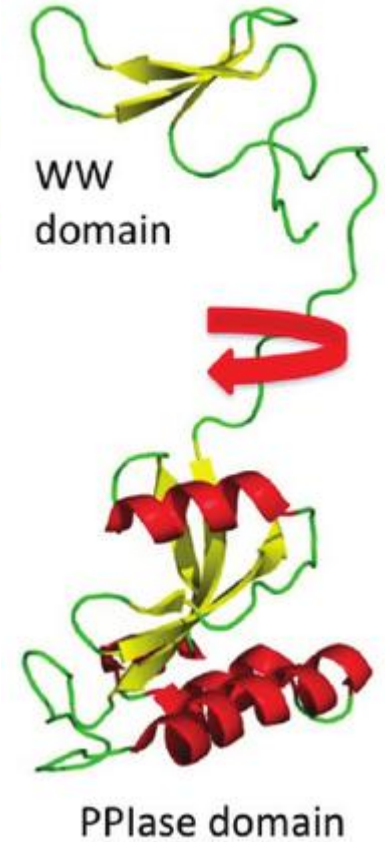


B



X-ray Single Crystal: 1F8A
Compact

A

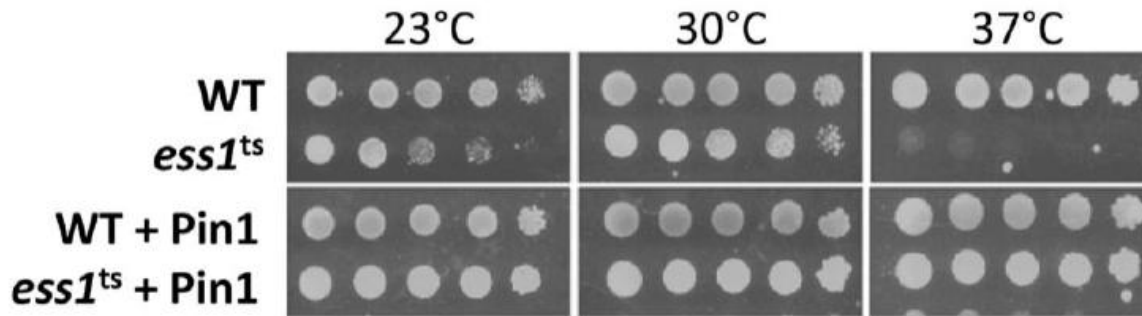


Ser/Thr-Pro motifs

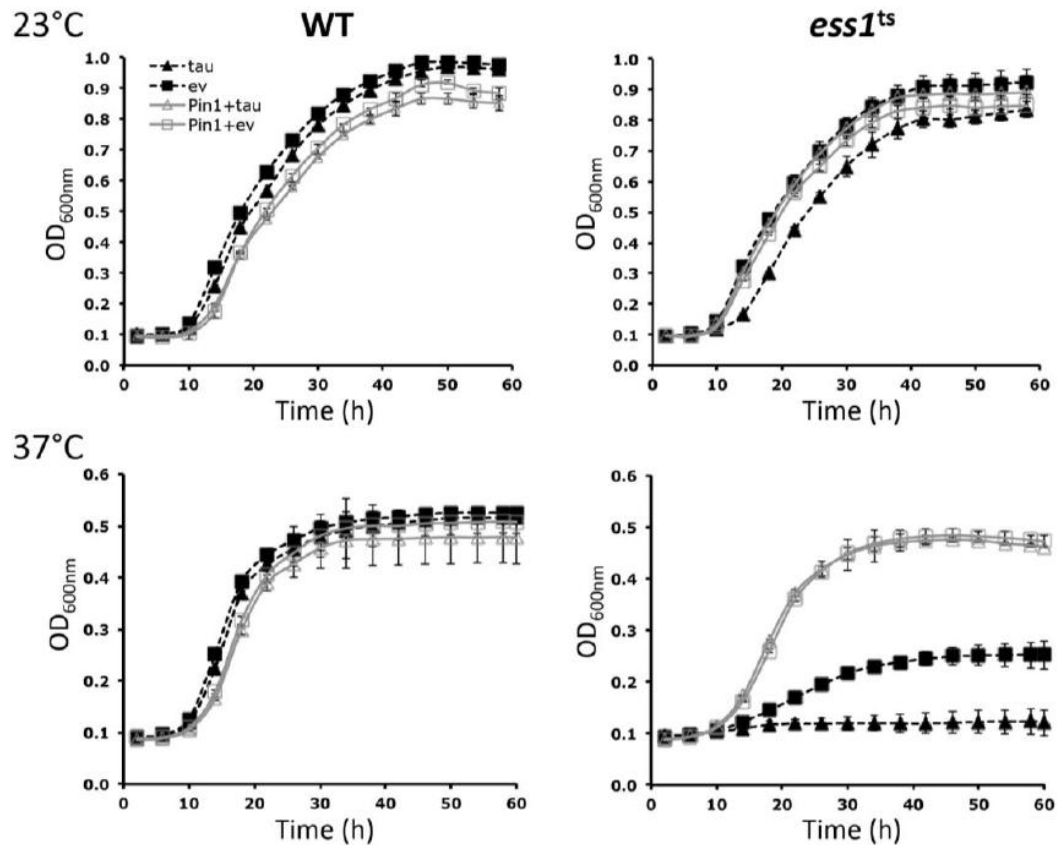
1. Phosphorylation of protein tau on Thr231-Pro232 slows down the conversion from the *cis* to the *trans* state, ultimately making this tau residue a less favorable target for the trans-dependent phosphatase PP2A;
2. Thr231-phosphorylated tau in the *cis*-state, but not *trans*-state, is unable to promote MT assembly and is more prone to aggregation, besides being more resistant to dephosphorylation;
3. Pin1^{-/-} mice display an age-dependent full-blown tau pathology whereas a decreased Pin1 expression/activity is reported in case of AD;
4. Ess1 de *S. cerevisiae* é o homólogo de Pin1

The effect of Ess1 depletion and tau expression on the growth of yeast cells

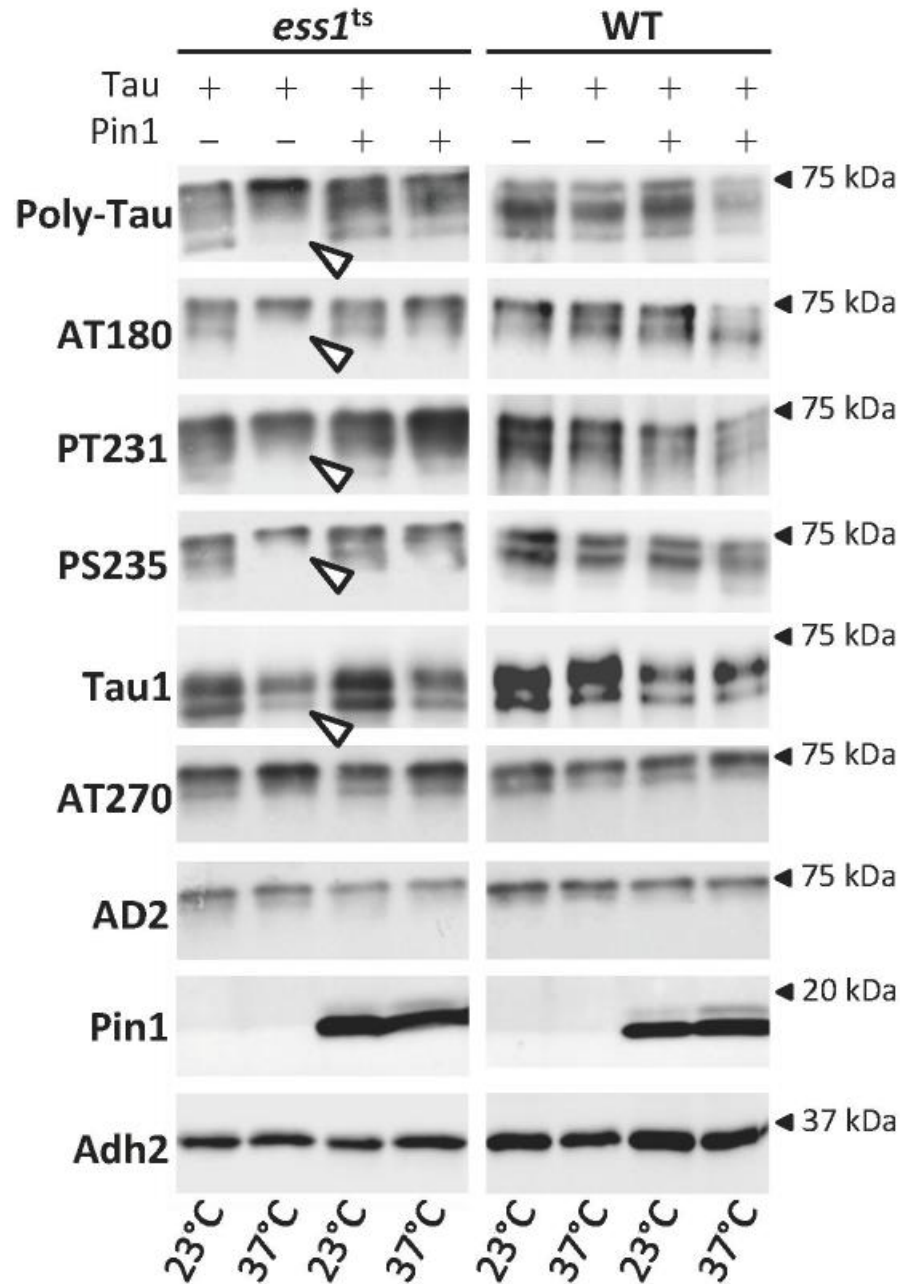
A



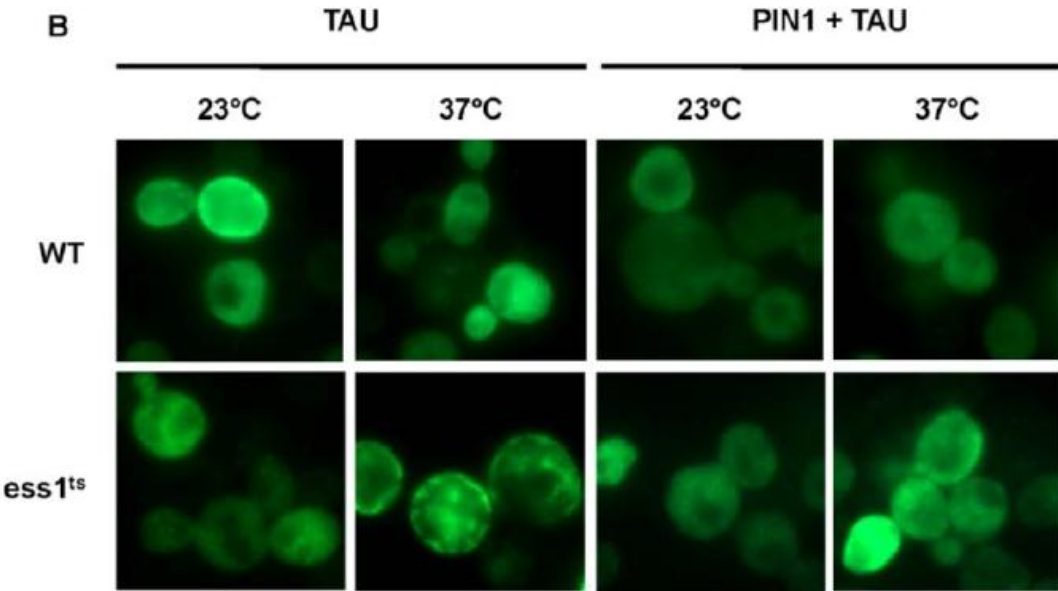
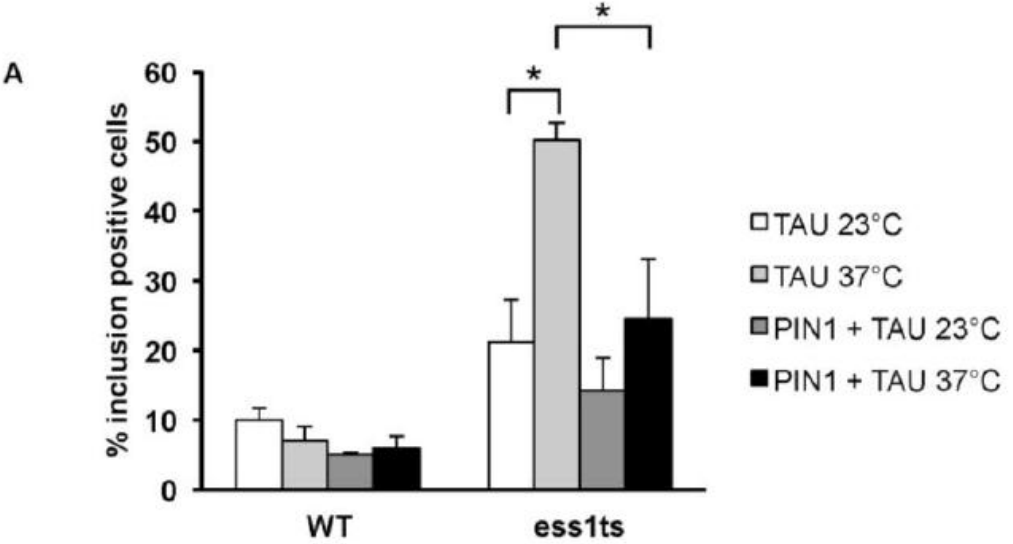
B



Phosphorylation pattern of tau in wild type and *ess1^{ts}* cells

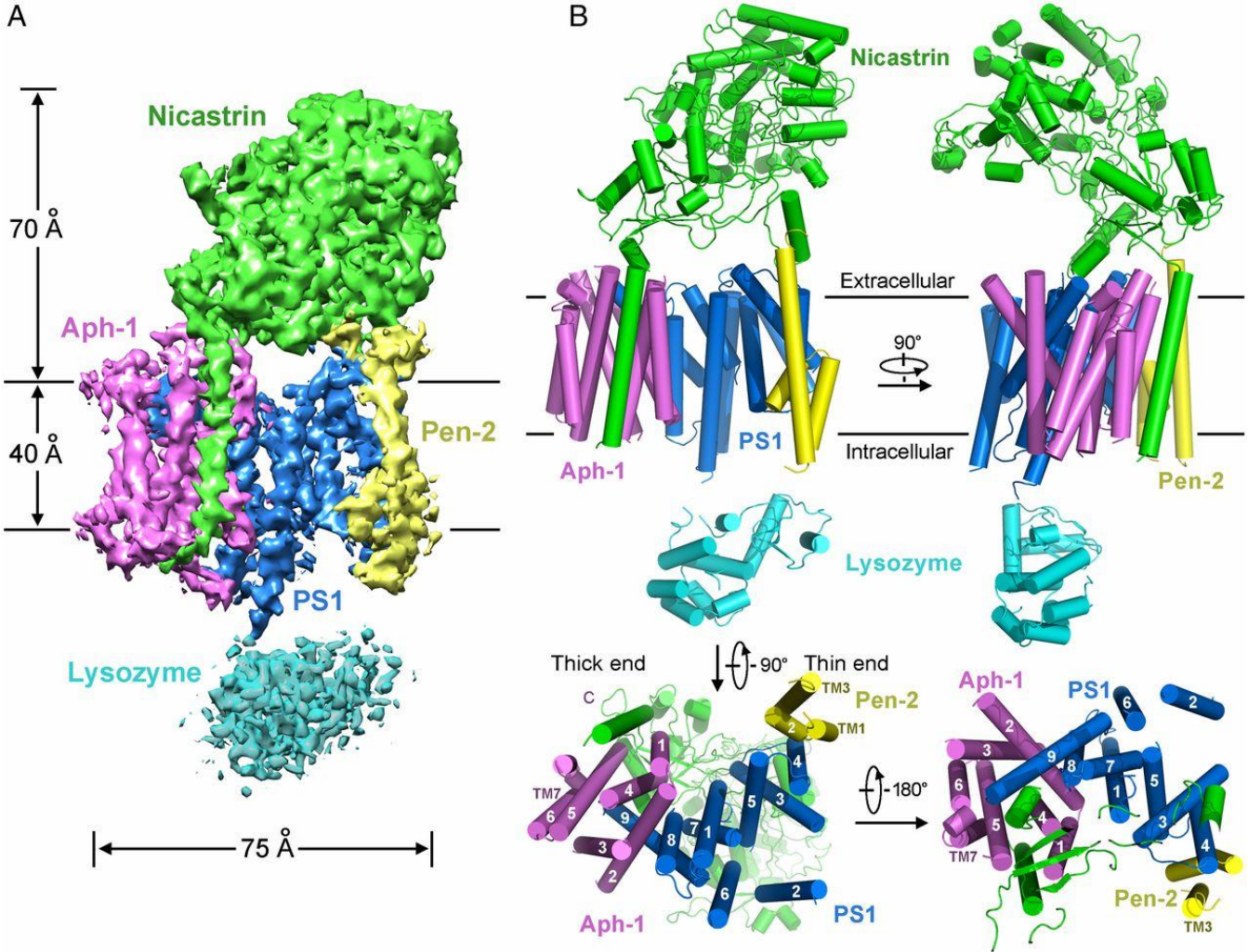


Visualisation of tau inclusions in WT and *ess1^{ts}* cells.



Budding yeast models to study effects of A β

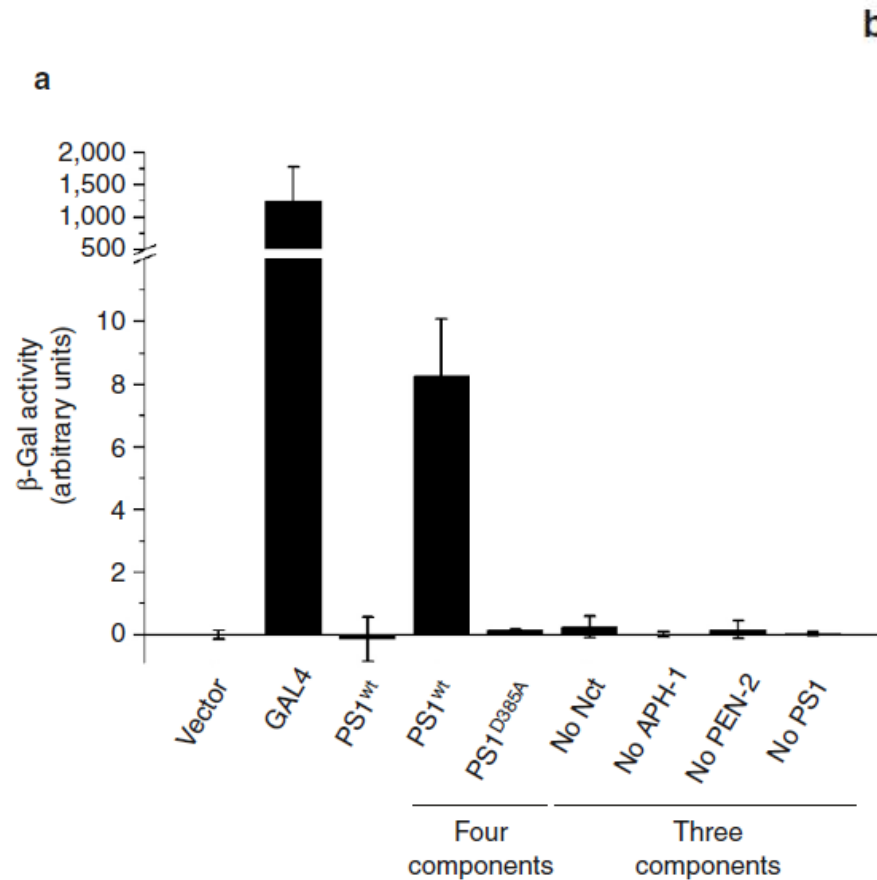
Overall structure of human γ -secretase.



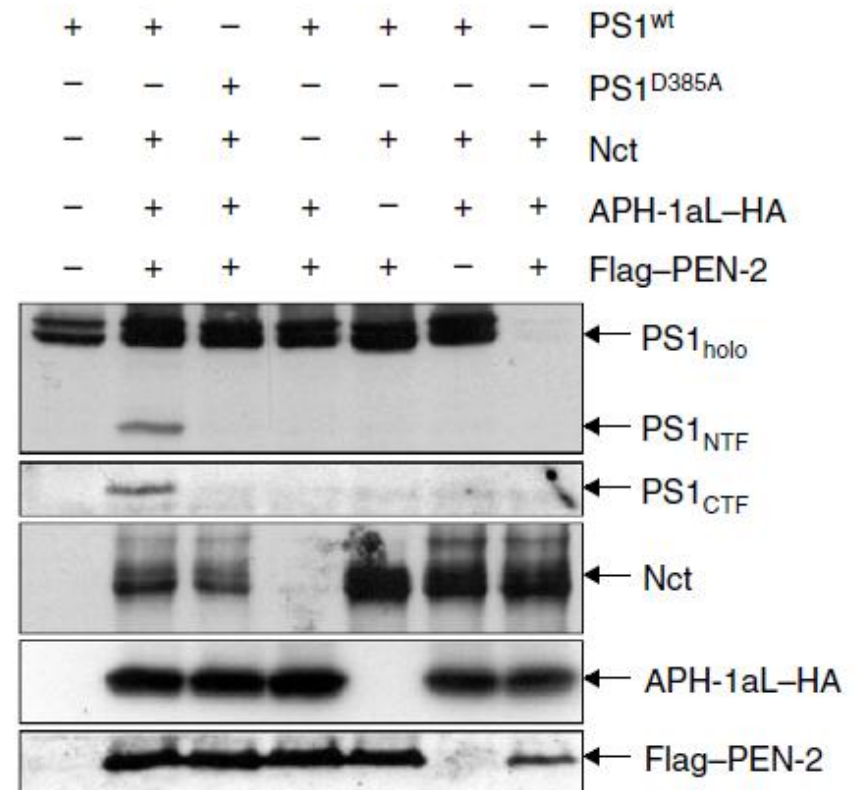
Linfeng Sun et al. PNAS 2015;112:19:6003-6008

PNAS

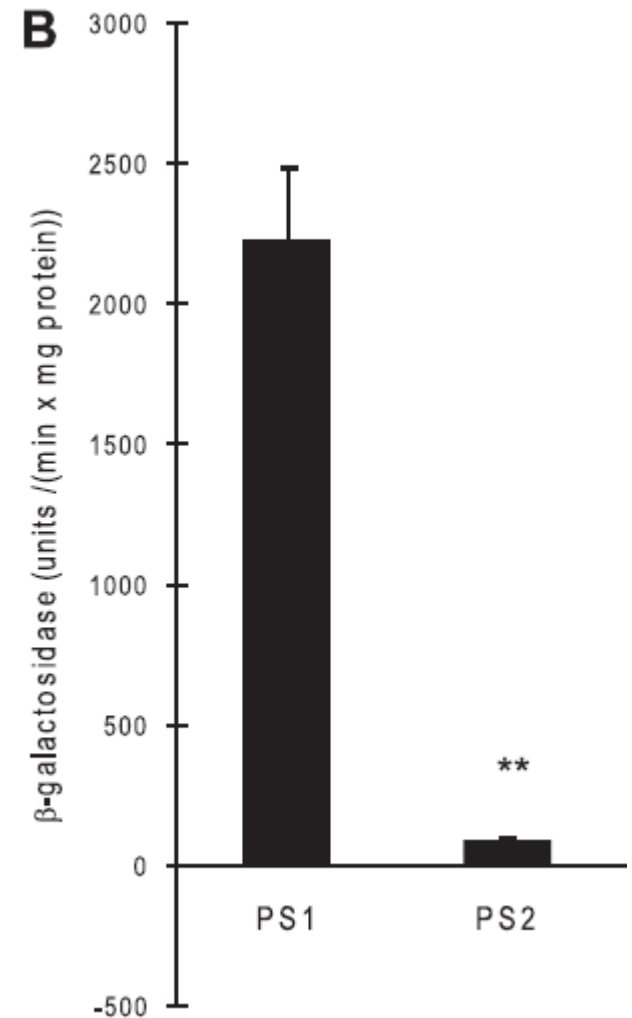
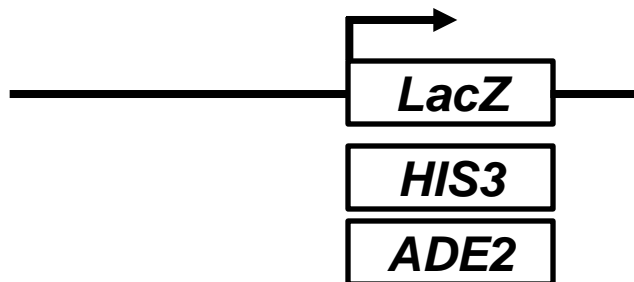
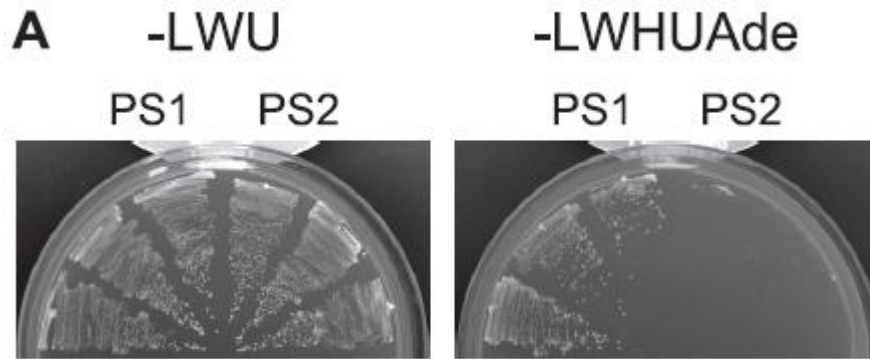
In vivo reconstitution of γ -secretase activity and PS endoproteolysis in yeast



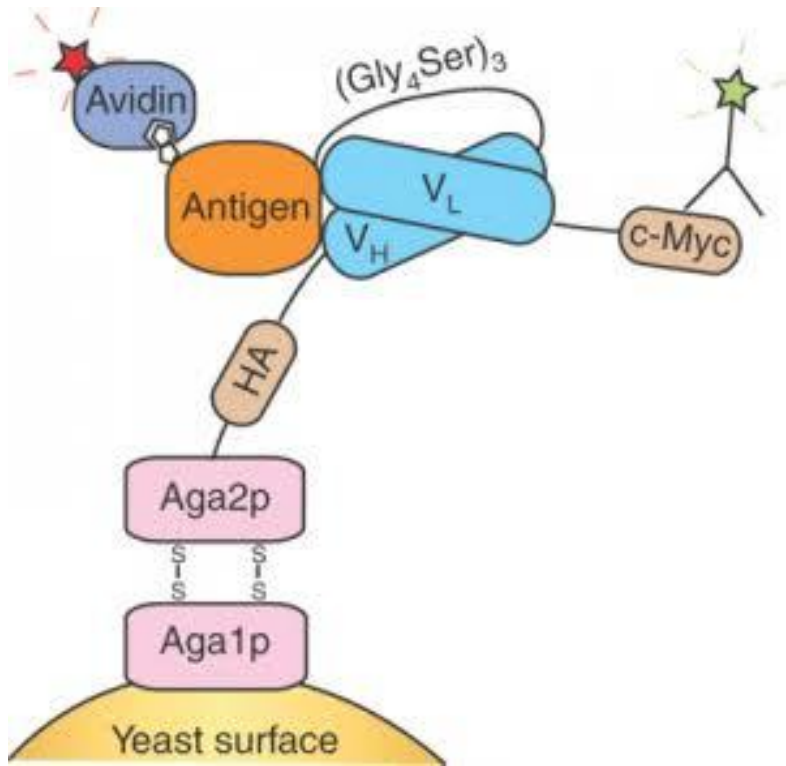
b



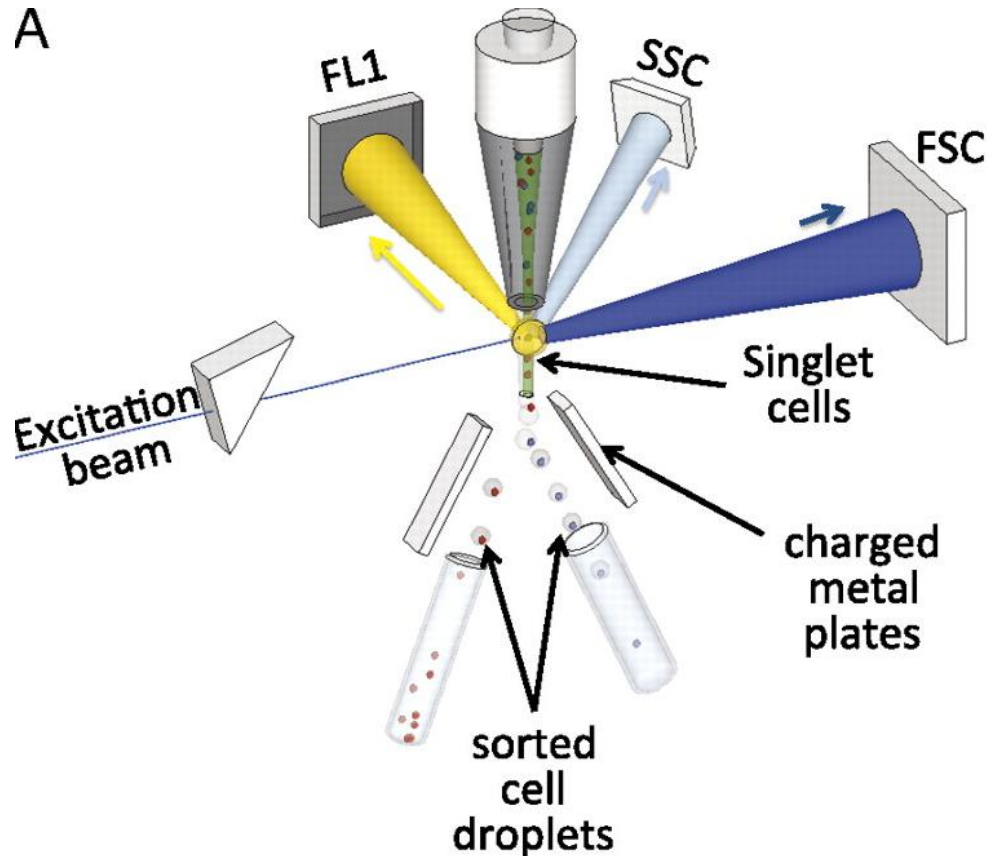
Estimate of reconstituted PS1 or PS2 -secretase activity in yeast



Yeast Display and flow Cytometry

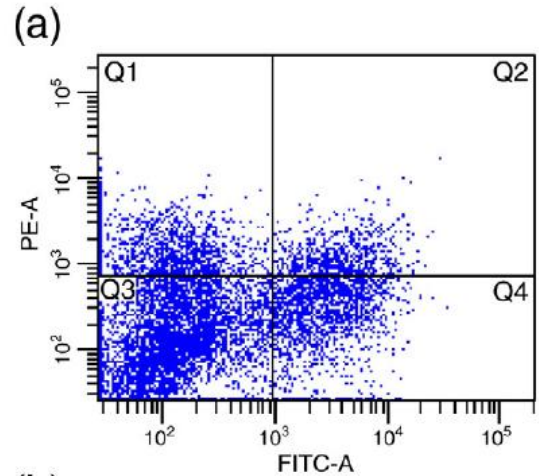


Yeast Display

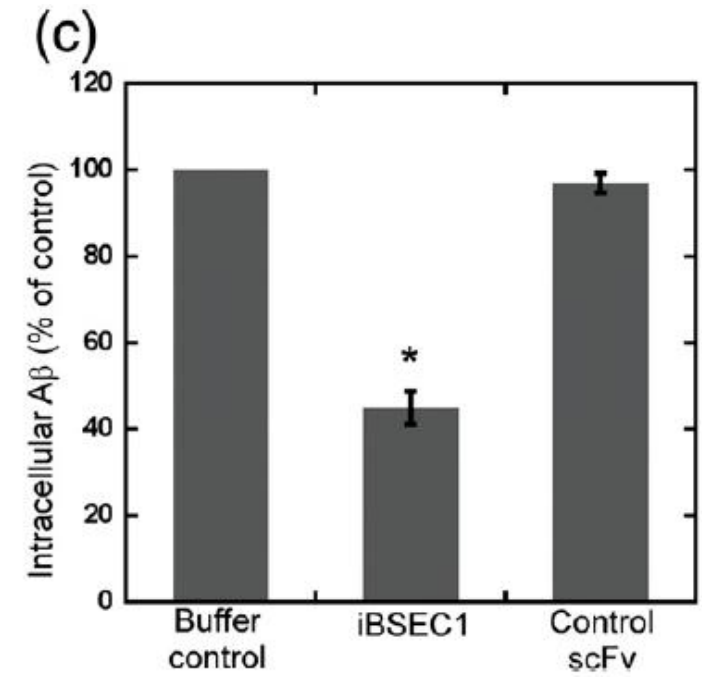
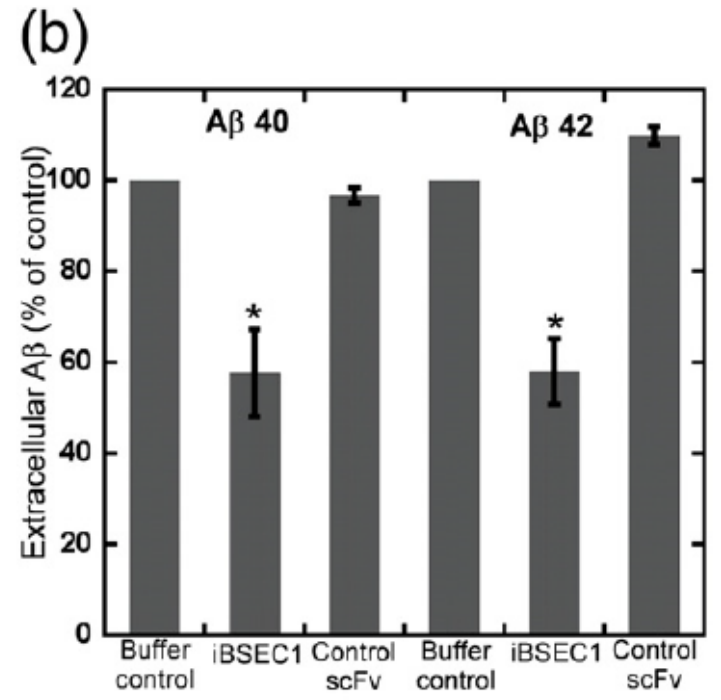
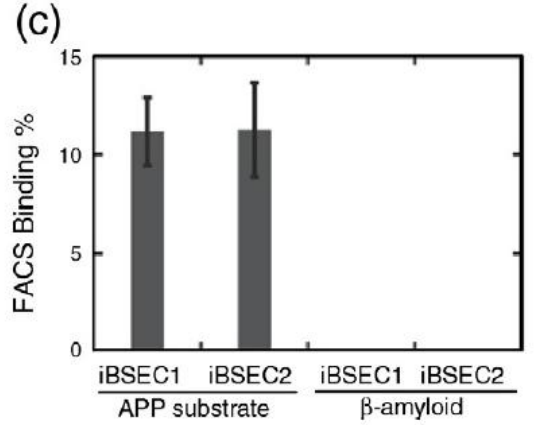
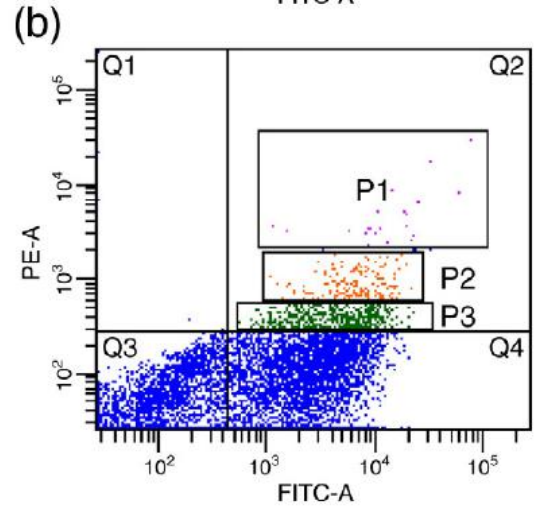


Flow Cytometry

A β 42



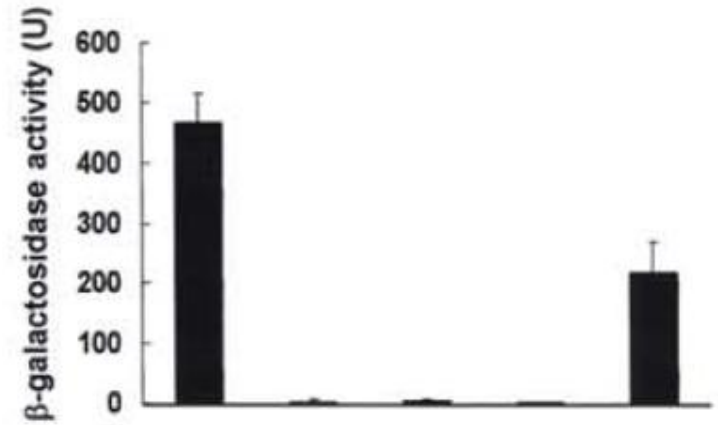
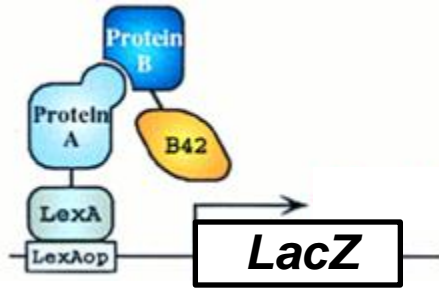
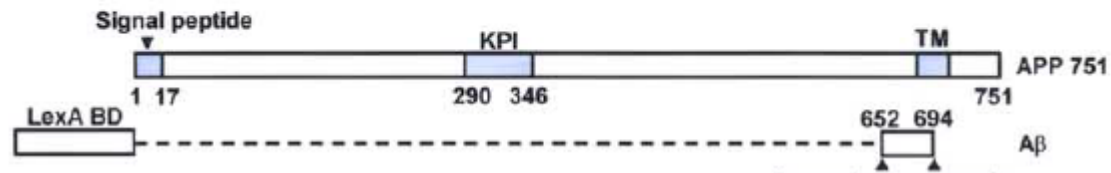
β APP



Yeast Two-Hybrid

A

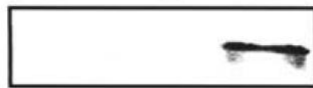
Amyloid Precursor Protein (APP)



HtrA2/Omi¹³⁴⁻⁴⁵⁸
LexA BD
LexA-A β

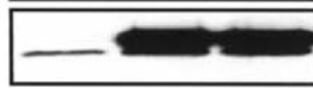
- + +
- + -
- - +

IP : anti-LexA
IB : anti-HtrA2/Omi



cytosolic HtrA2/Omi

Input
IB : anti-HtrA2/Omi



cytosolic HtrA2/Omi

mitochondrial HtrA2/Omi



H.C.

IP : anti-LexA
IB : anti-LexA



L.C.

HtrA2/Omi¹⁵⁶⁻⁴⁵⁸

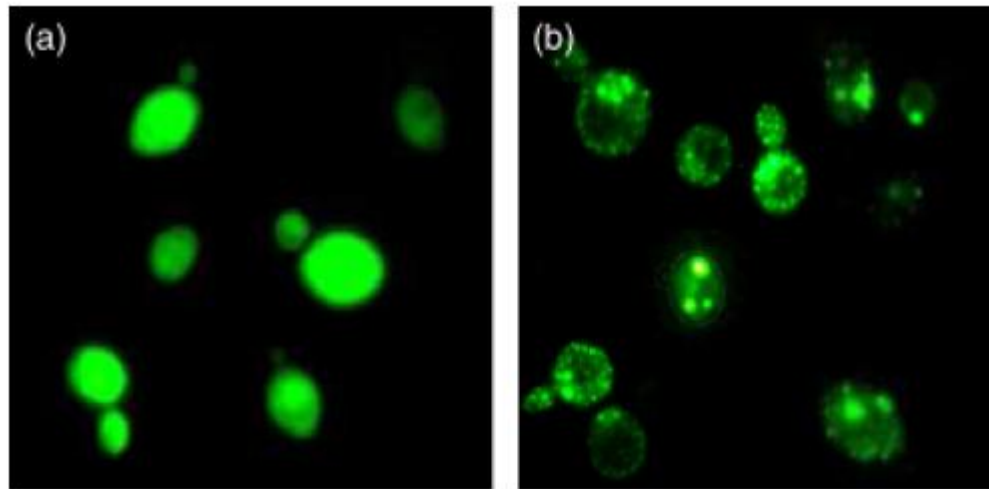
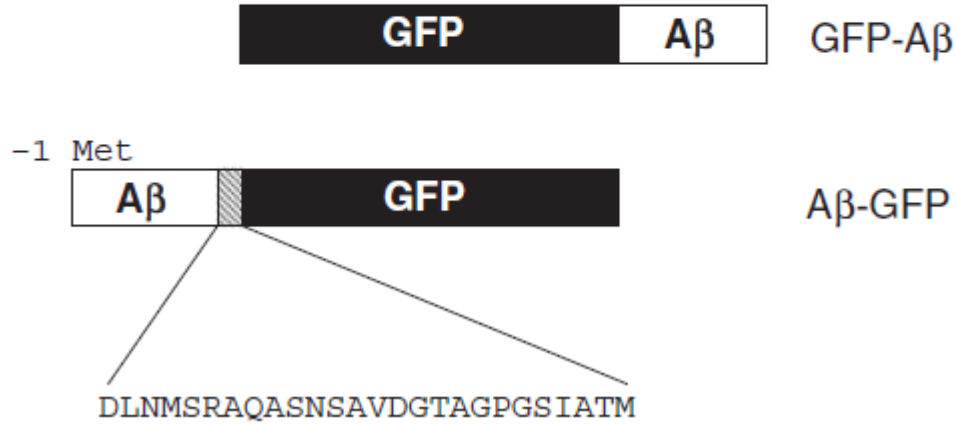
A β
HtrA1/L56
p53
Tag
B42AD
LexA BD

- + - - +
- - + + +
- - - + -
+ - - - -
+ - - - -
- - + - -
- + - - -



Microscopy of yeast with GFP-A β

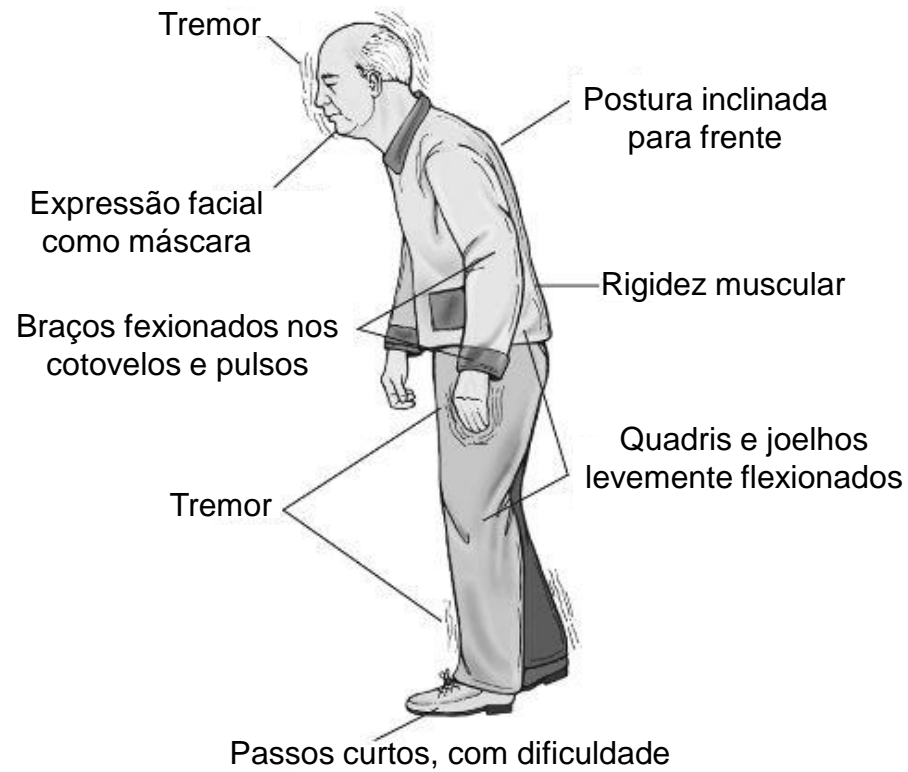
.....10.....20.....30.....40..
DAEFRHDSGYEVHHQKLVFFAEDVGSNKGAIIGLMVGGVVIA A β



GFP

GFP-A β

Introdução à Doença de Parkinson



Características clínicas importantes da Doença de Parkinson

Tremor de repouso

Bradicinesia

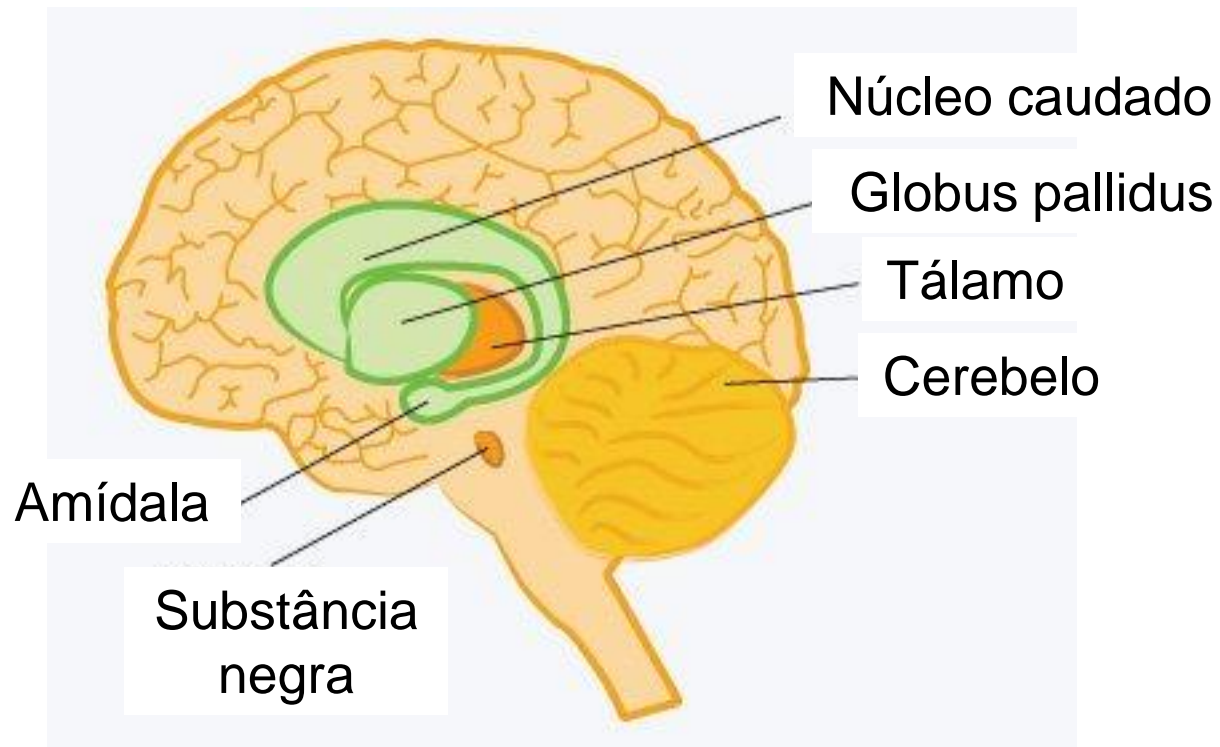
Rigidez muscular

Alteração dos reflexos posturais

Postura flexionada para frente

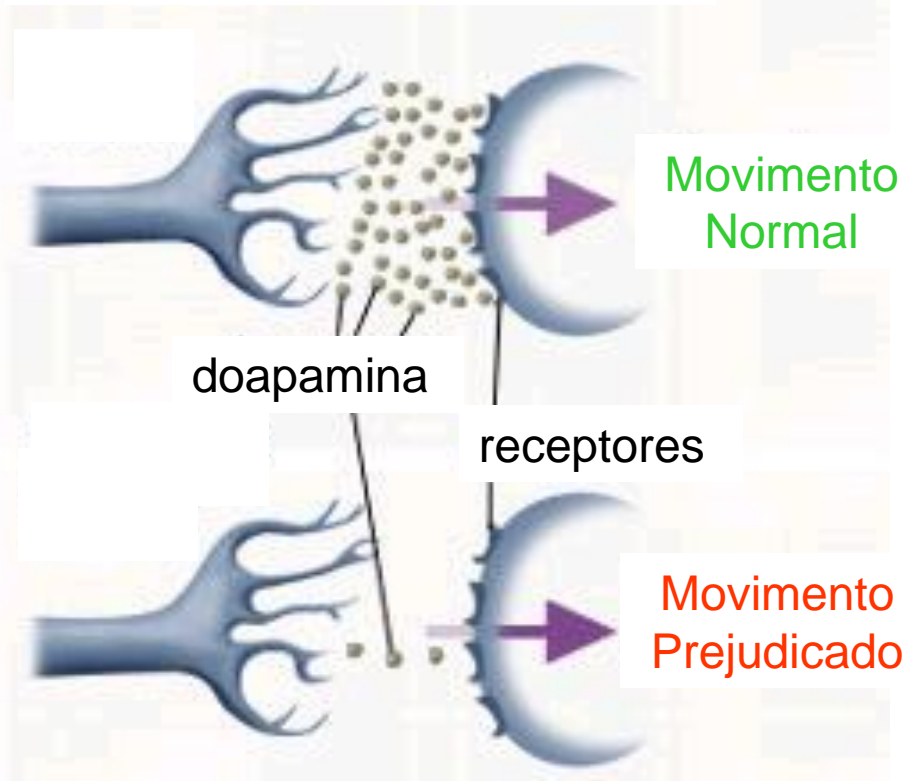
Bloqueio motor

Áreas do cérebro afetadas na doença de Parkinson



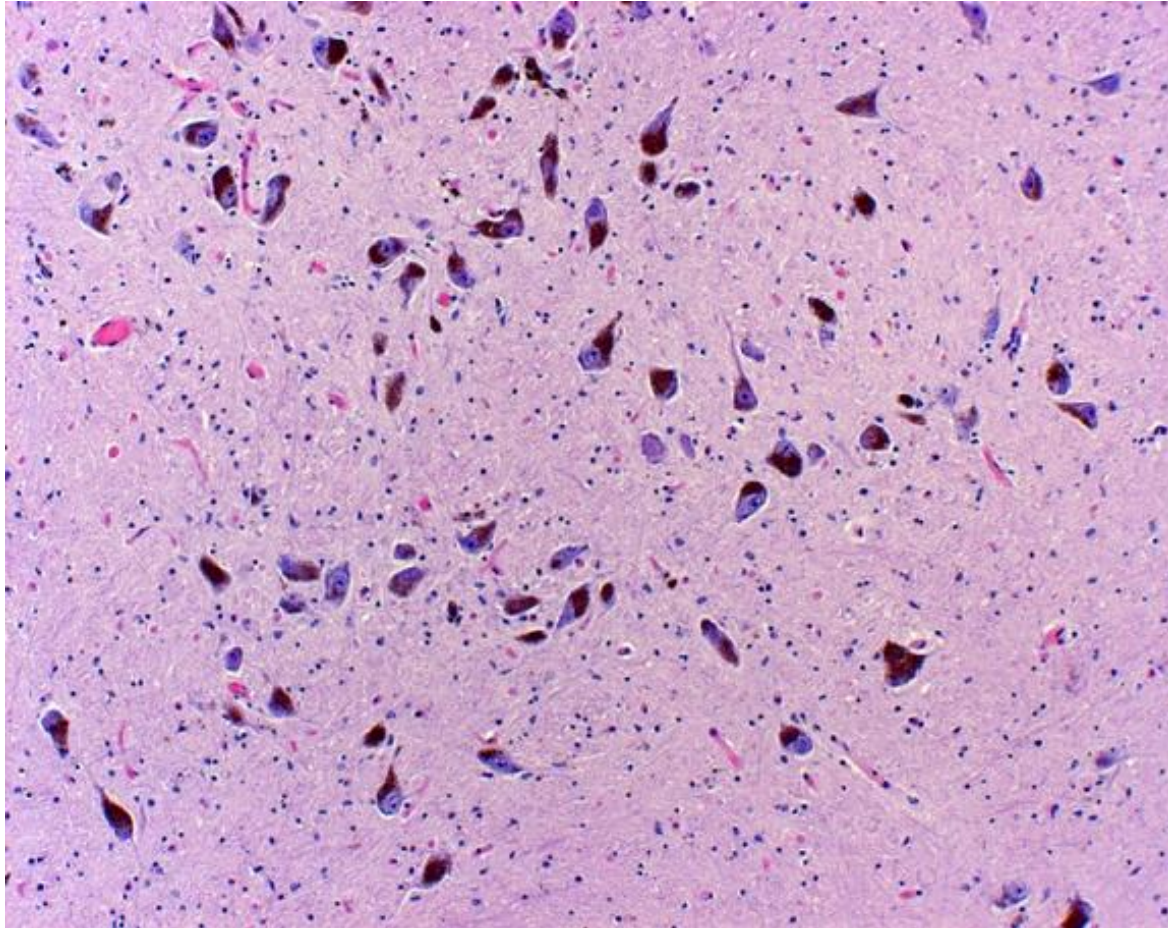
Os níveis de dopamina em neurônios normais e afetados com doença de Parkinson

Neurônio Normal



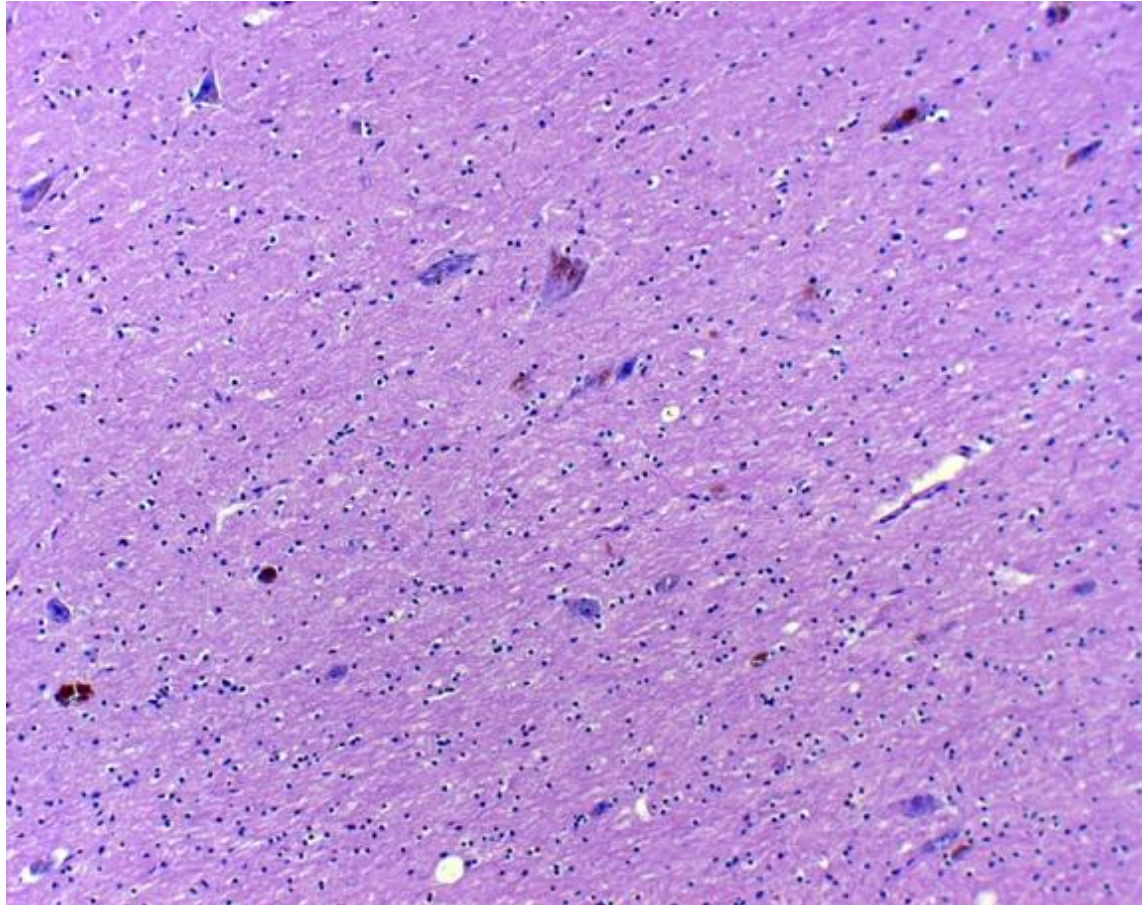
Neurônio afetado com
Doença de Parkinson

Doença de Parkinson



Substância negra normal

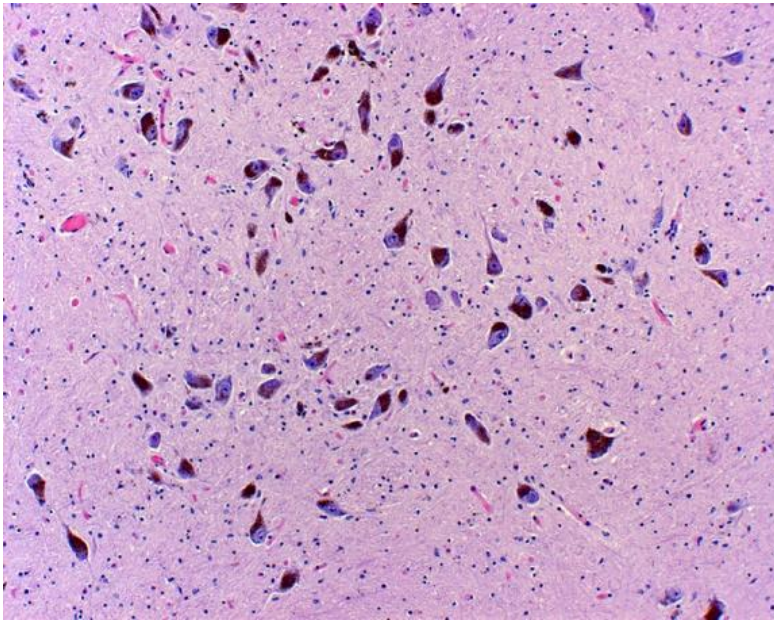
Doença de Parkinson



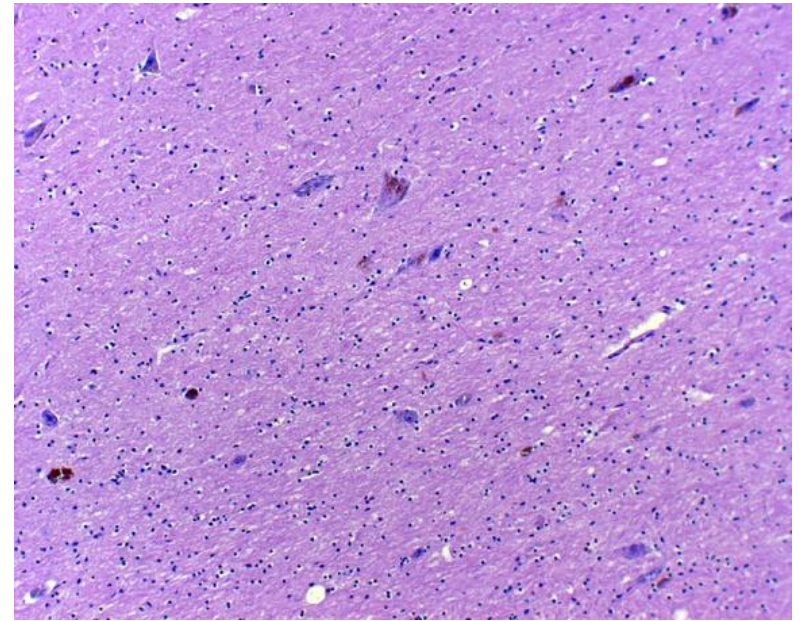
Substância negra com Parkinson

Doença de Parkinson

Substância Negra



Normal



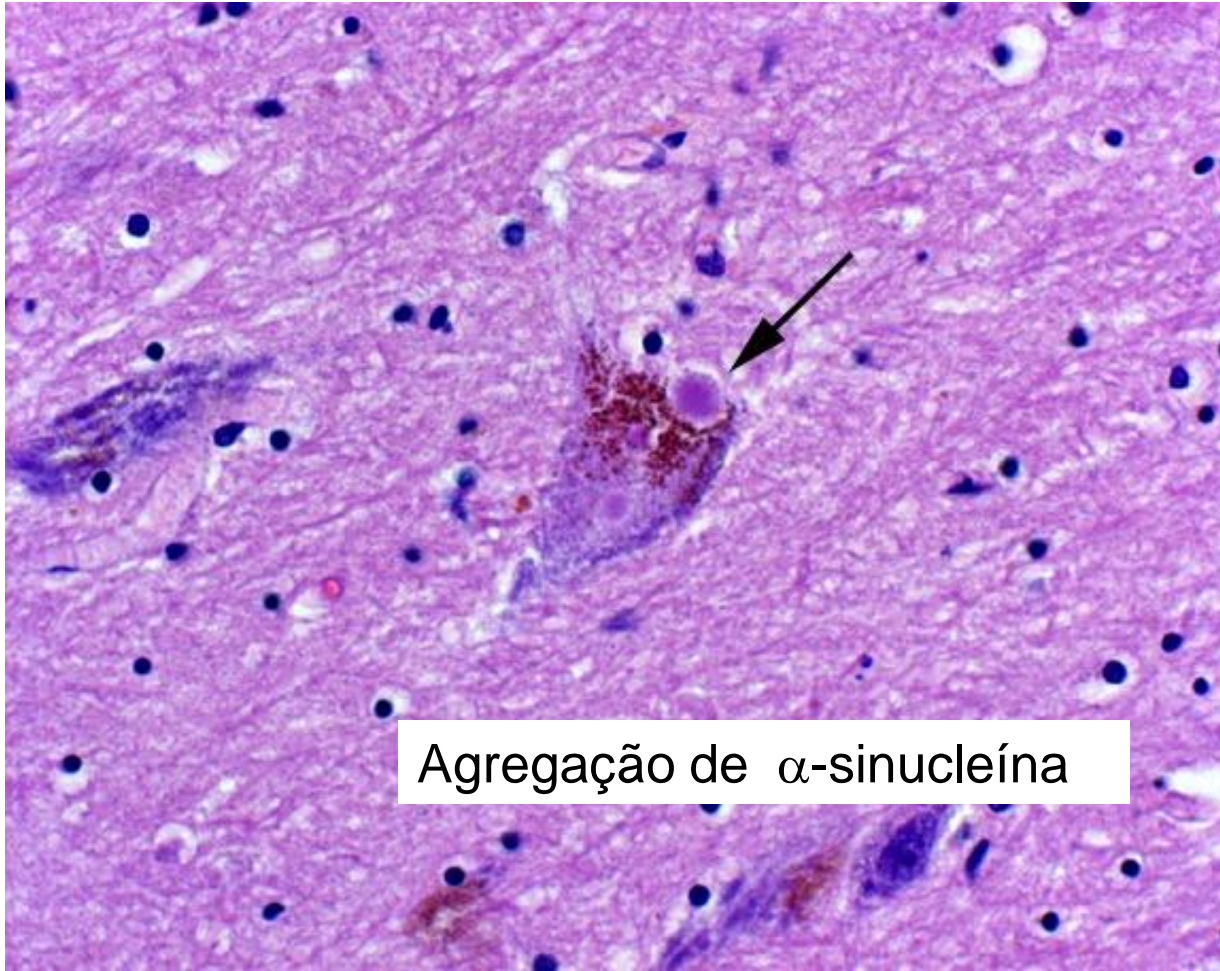
Parkinson

Doença de Parkinson



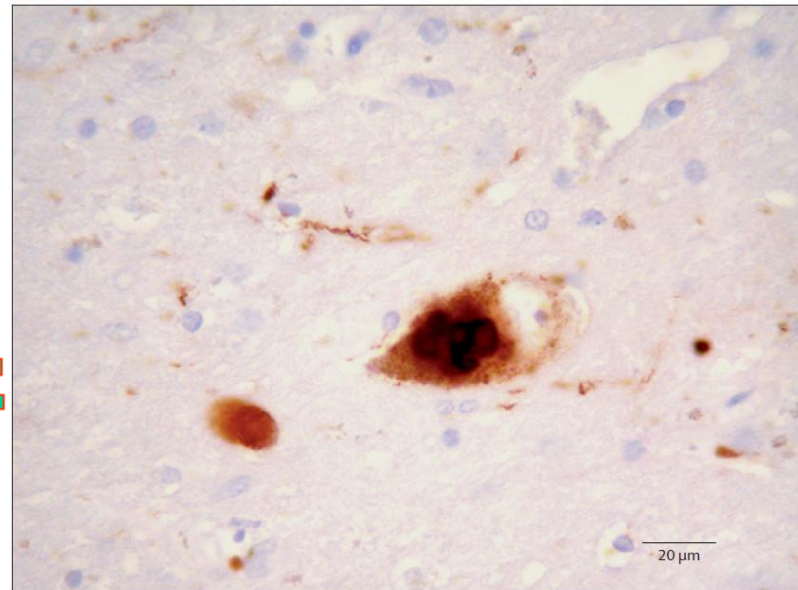
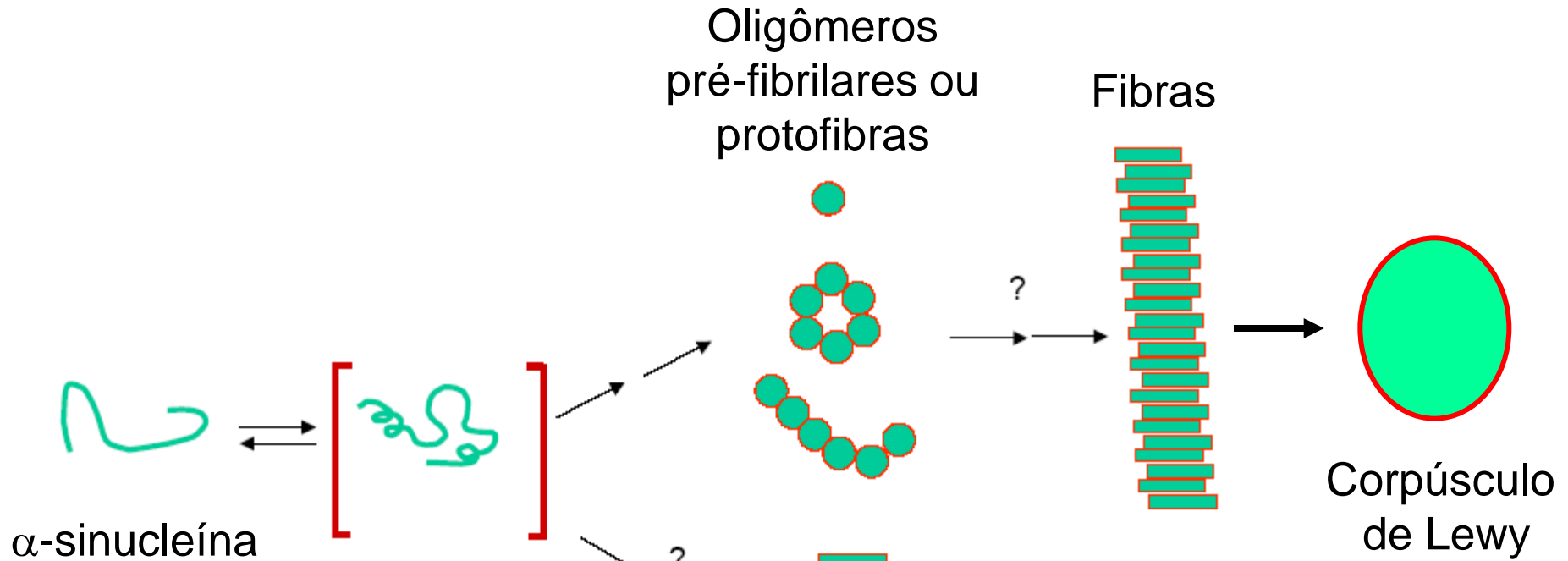
Substância negra com Parkinson

Corpúsculos de Lewy



Agregação de α -sinucleína

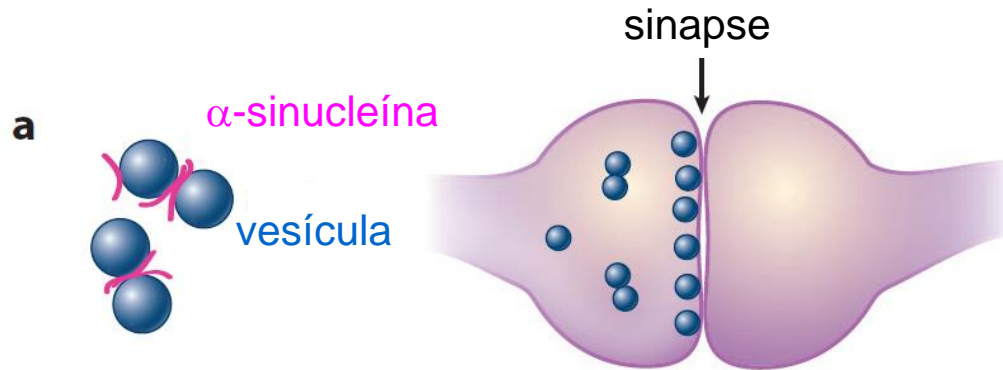
Mecanismo de agregação de α -sinucleína



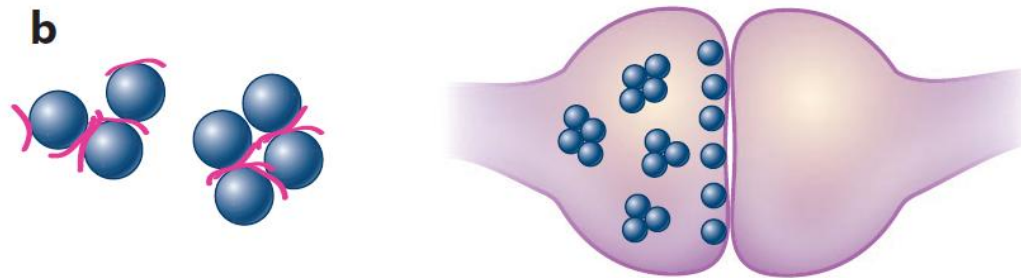
**Como os agregados de α -sinucleína causam a
Doença de Parkinson?**

α -sinucleína liga-se às vesículas sinápticas

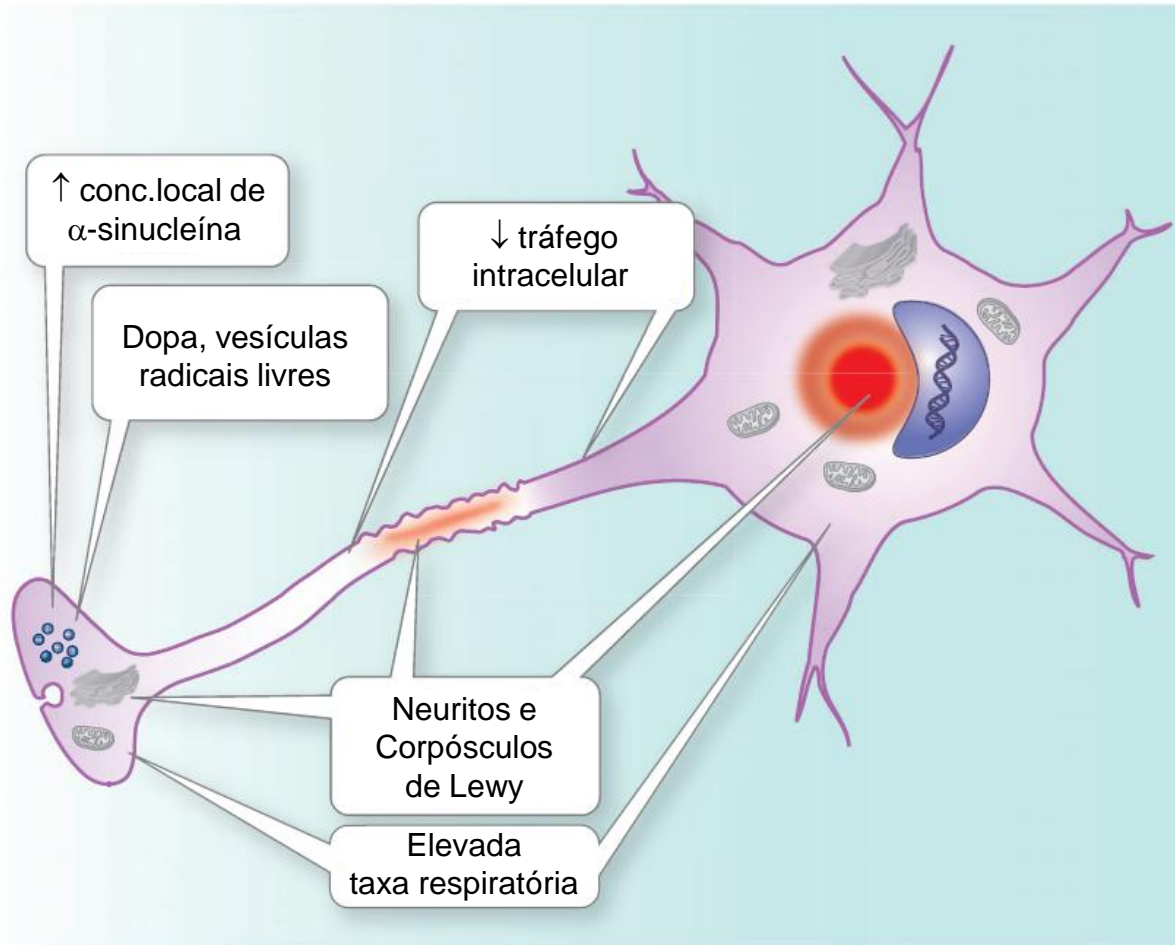
Normal



Parkinson

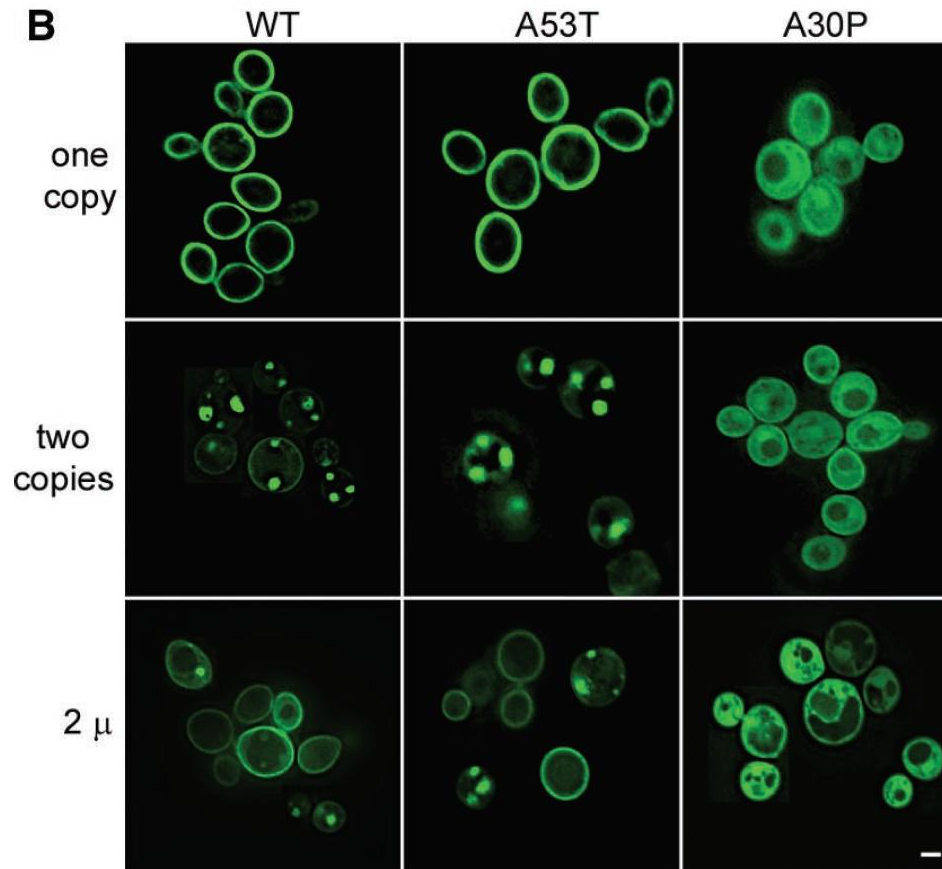
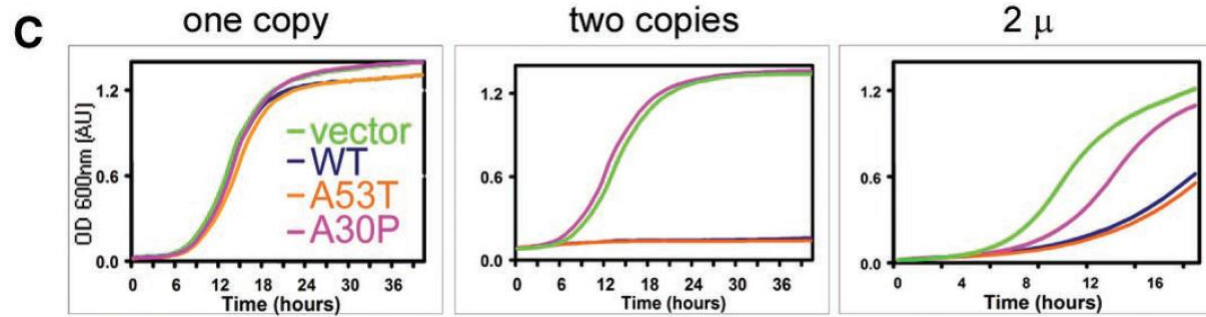
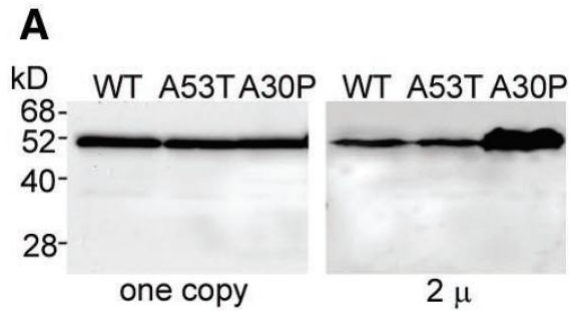


Toxicidade da α -sinucleína em neurônio dopaminérgico



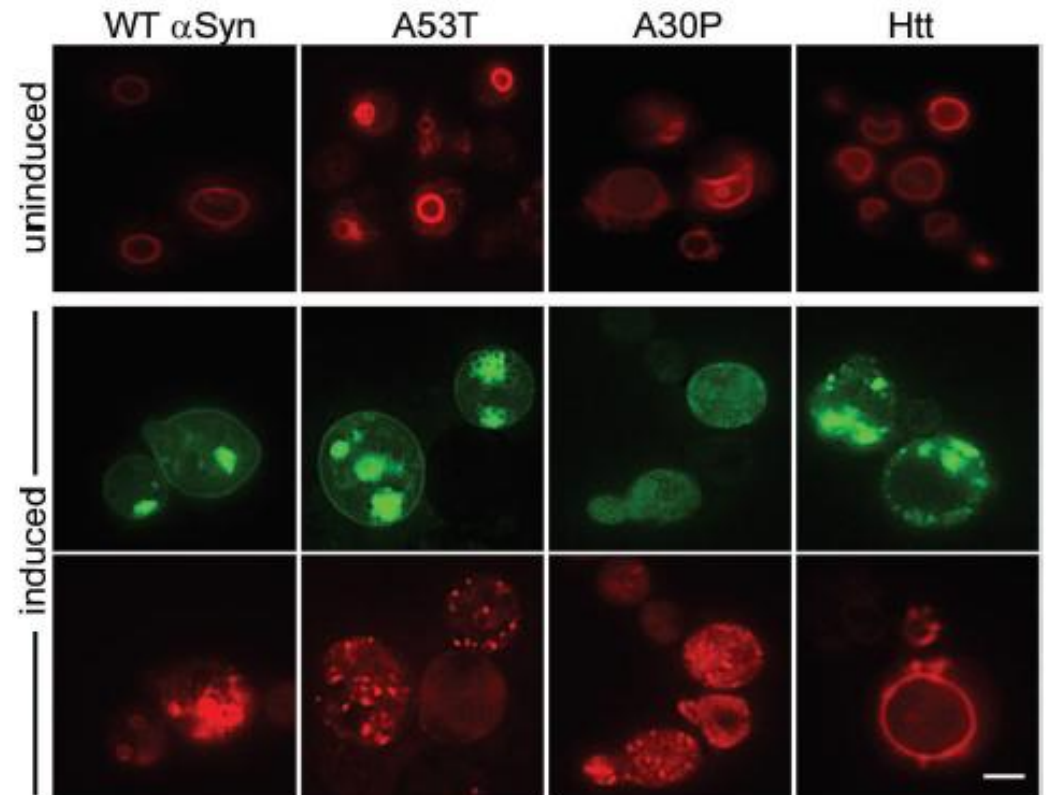
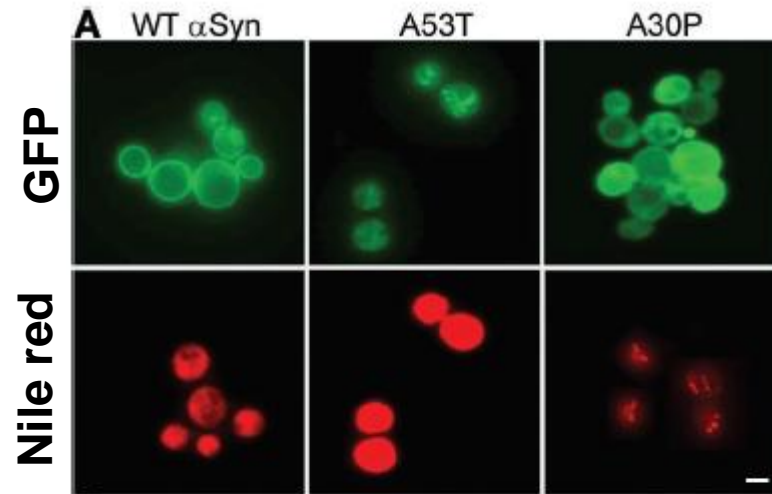
Yeast models to study Parkinson's disease

Expression of Syn in yeast



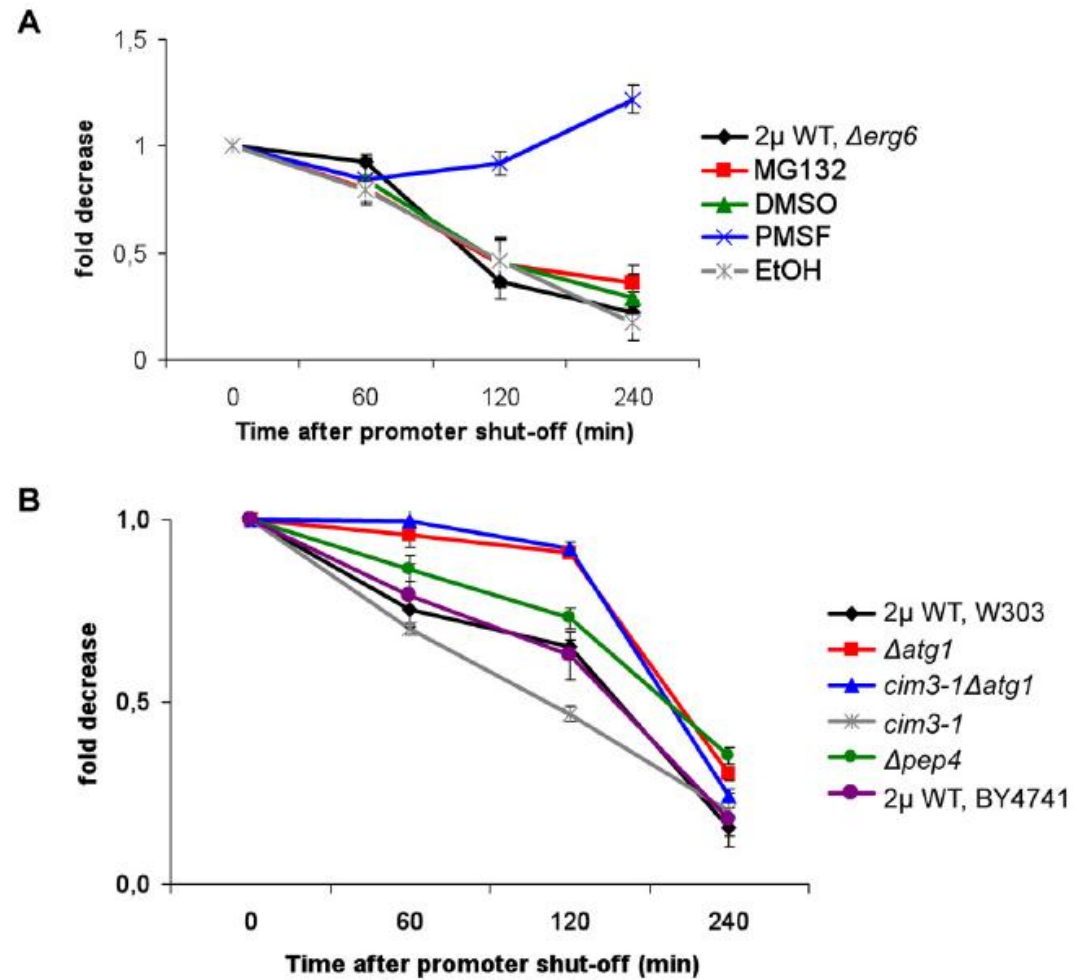
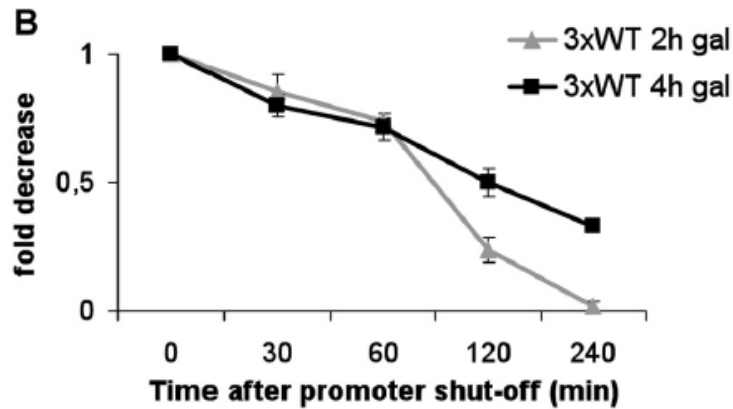
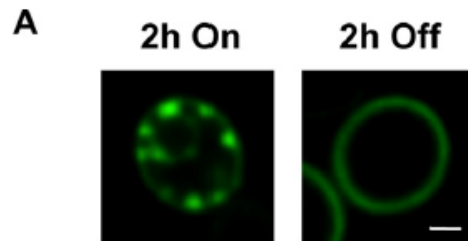
Cells expressing Syn accumulate lipids.

Syn overexpression perturbs the distribution of vesicular pools

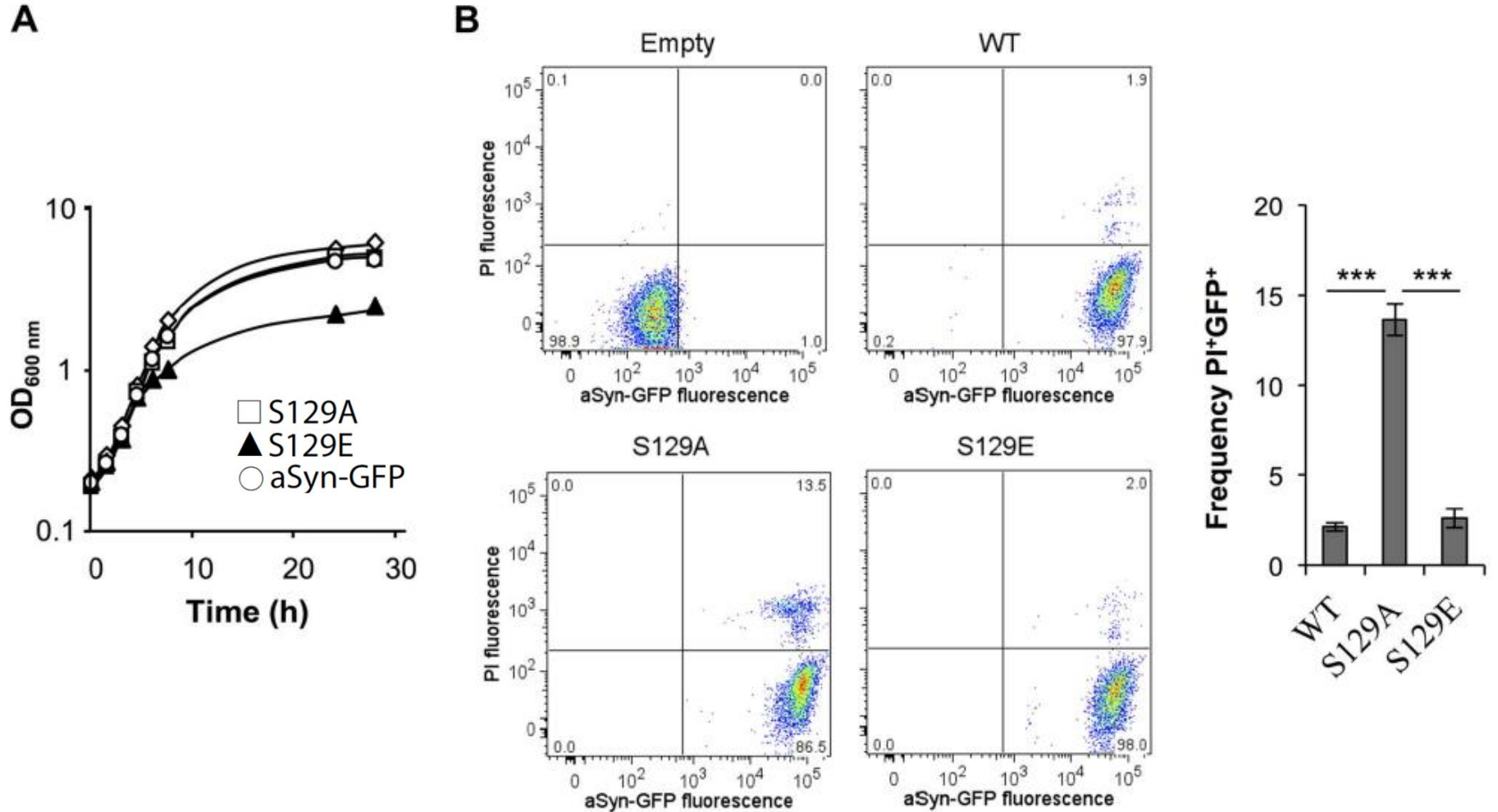


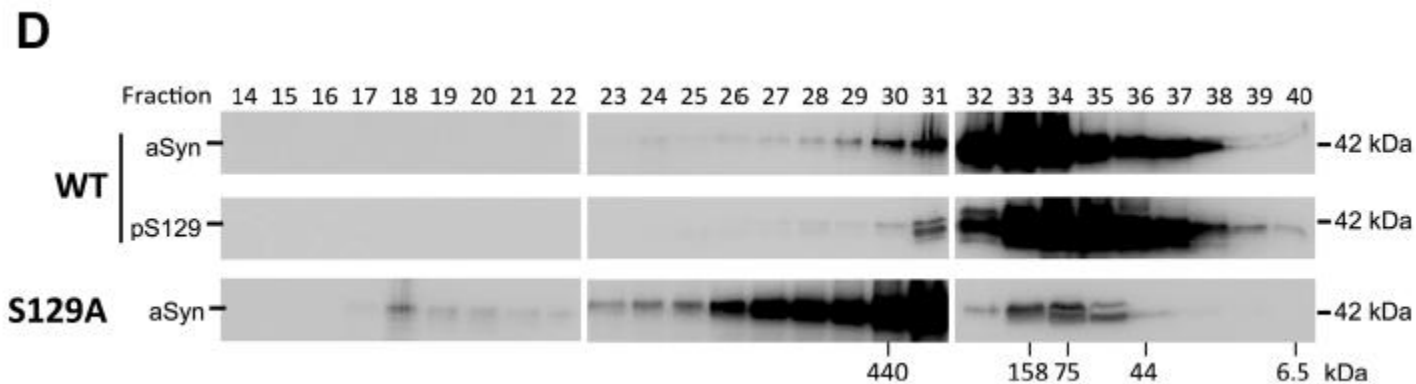
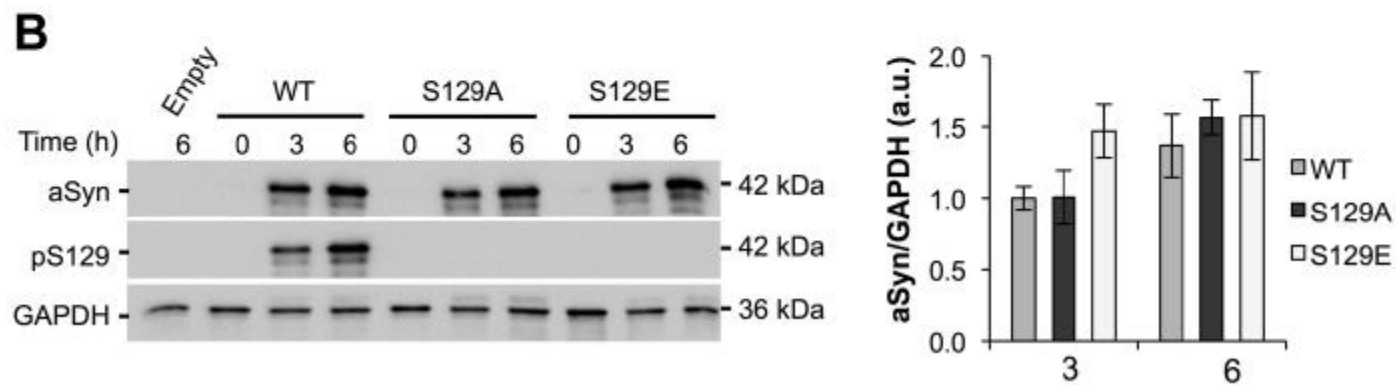
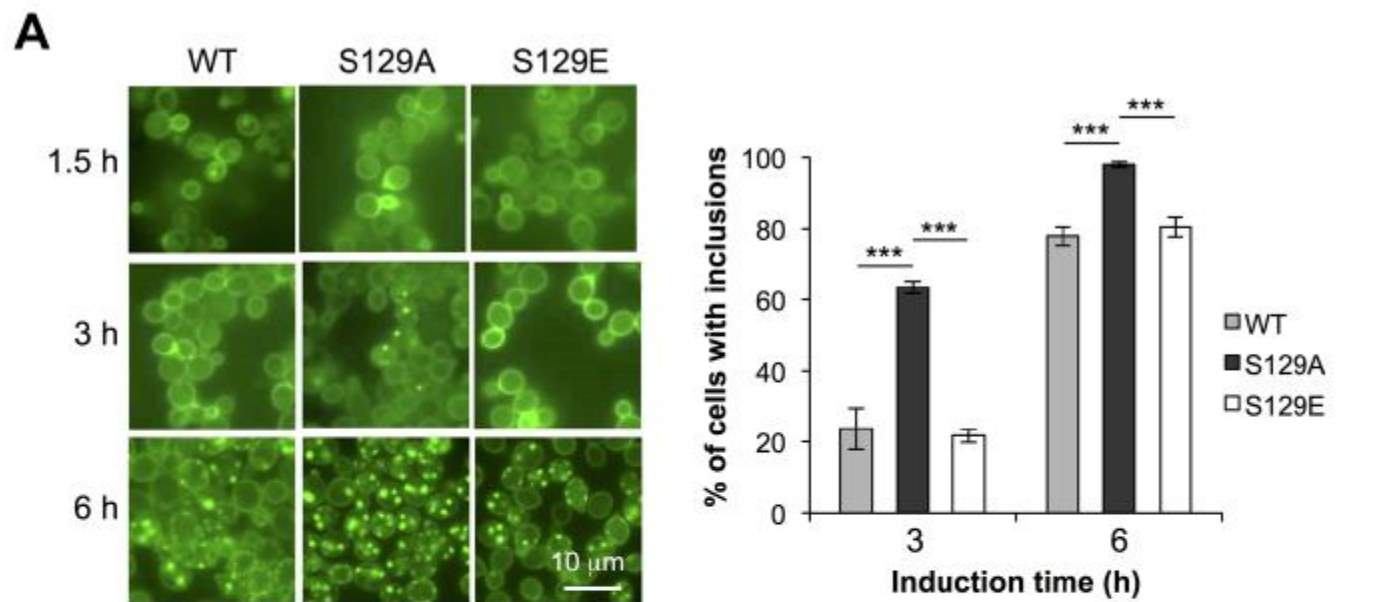
FM4-64

Clearing of α -synuclein aggregates by autophagy and vacuole function rather than proteasome



S129A α Syn is more toxic for yeast cells than the WT α Syn





Introdução à Doença de Huntington

Início tardio

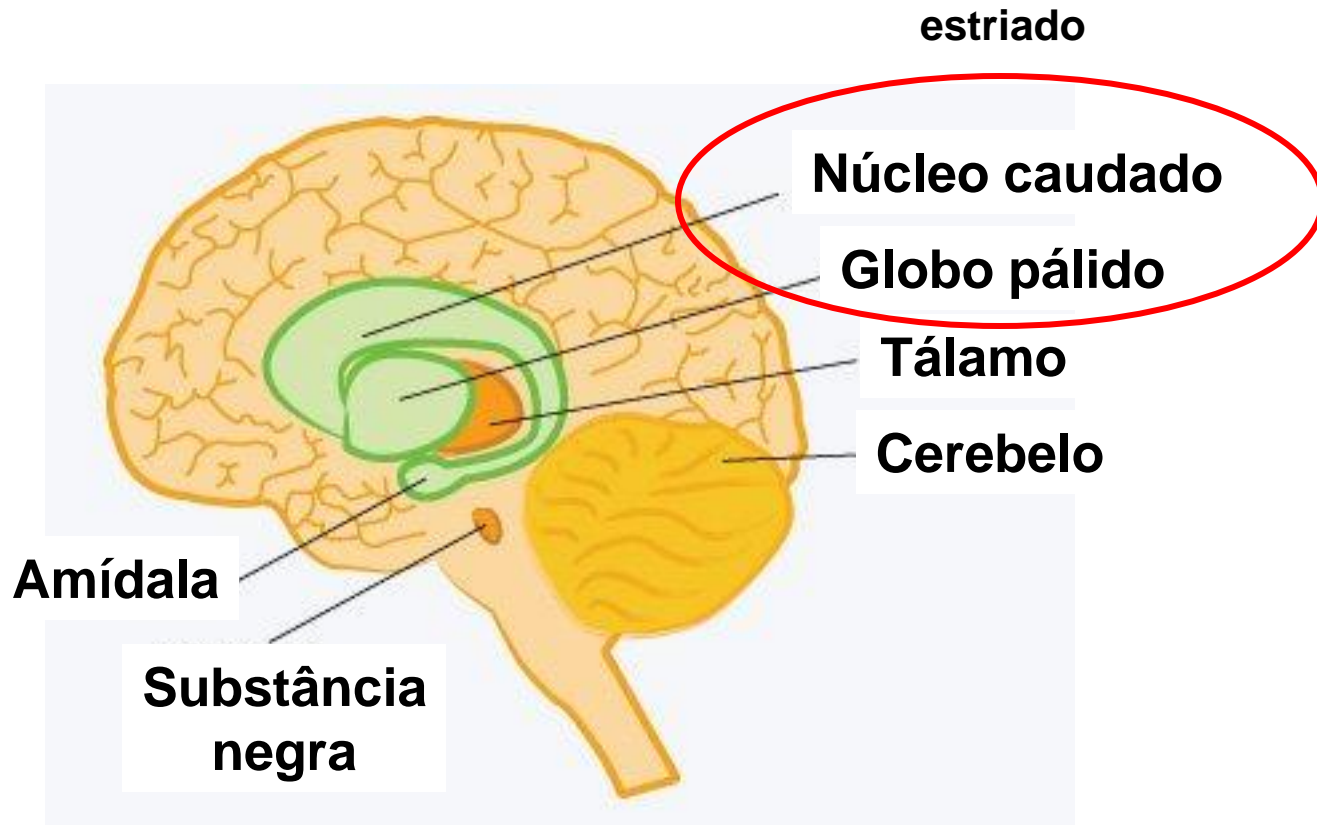
Perda de neurônios do tecido estriado

Perda de peso

Doença com herança autossômica dominante

Disfunção motora, psiquiátrica e do sistema cognitivo progressiva → morte

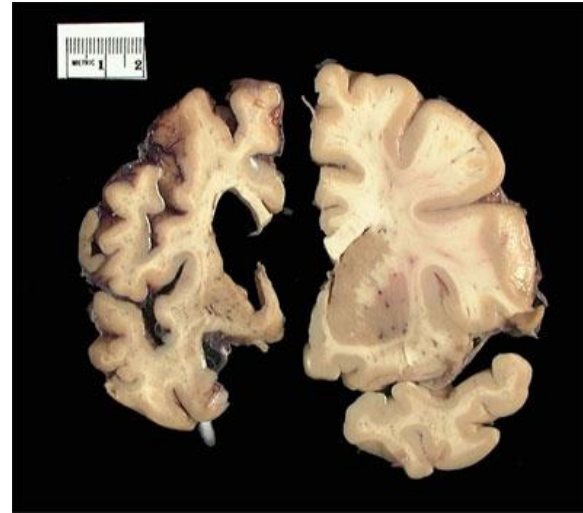
Áreas do cérebro afetadas na doença de Huntington



Atrofia do tecido cerebral com o progresso da doença

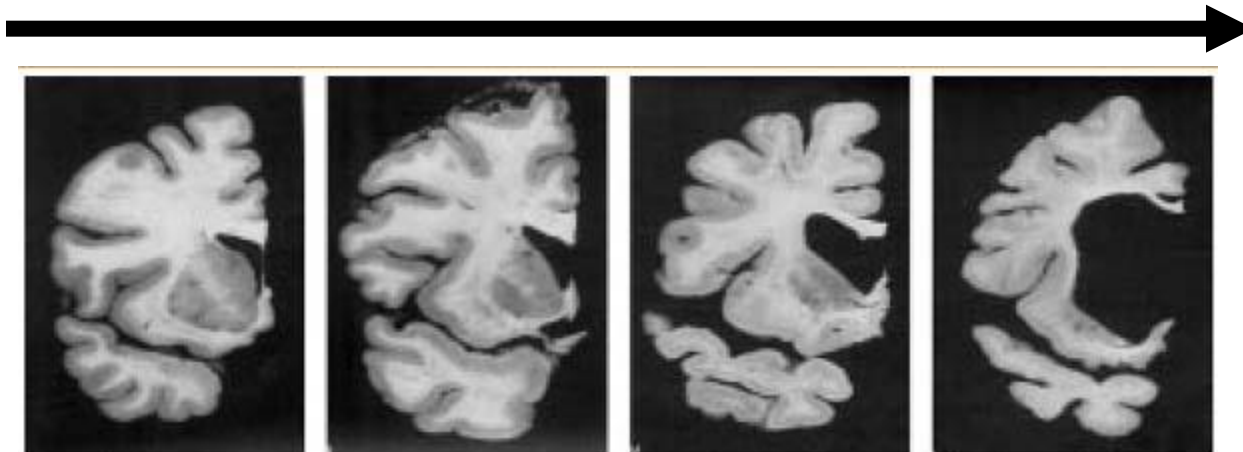


Huntington

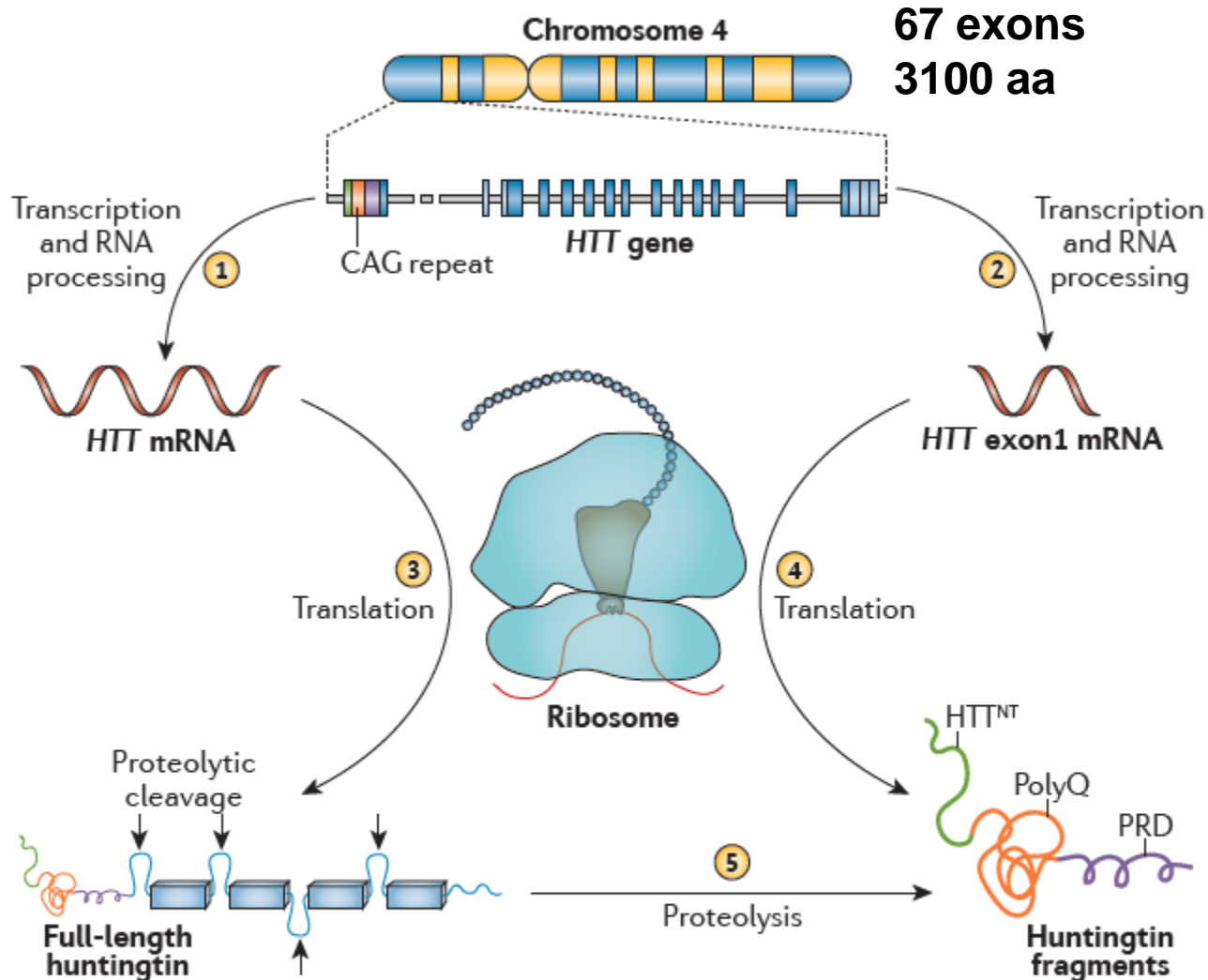


Normal

Progresso da doença



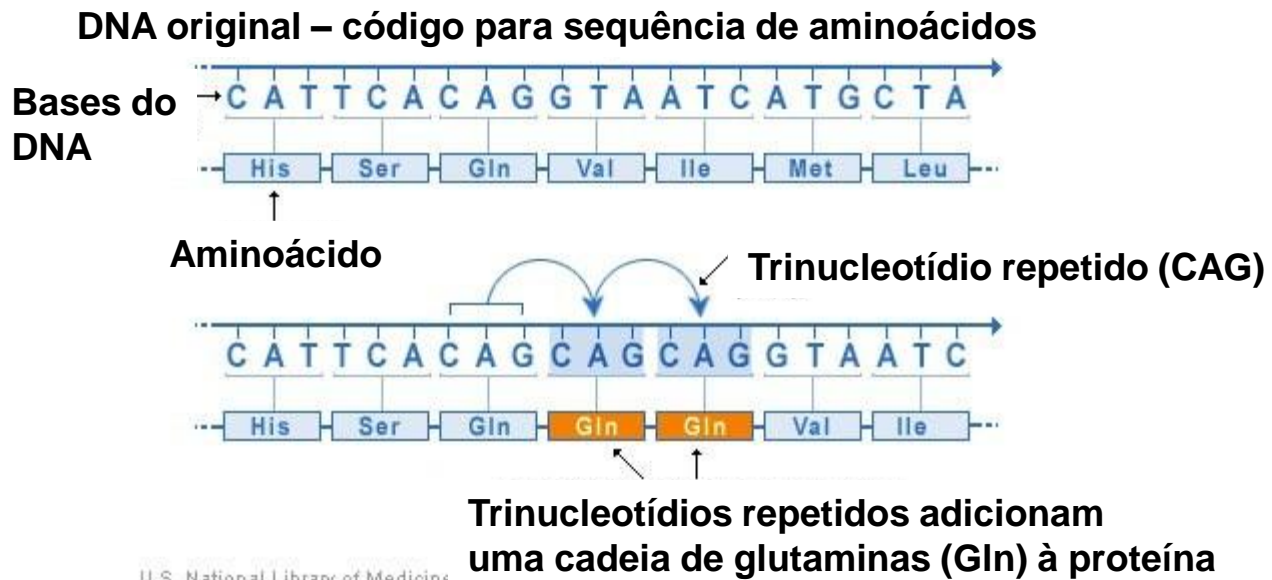
Huntingtin structure and transformations



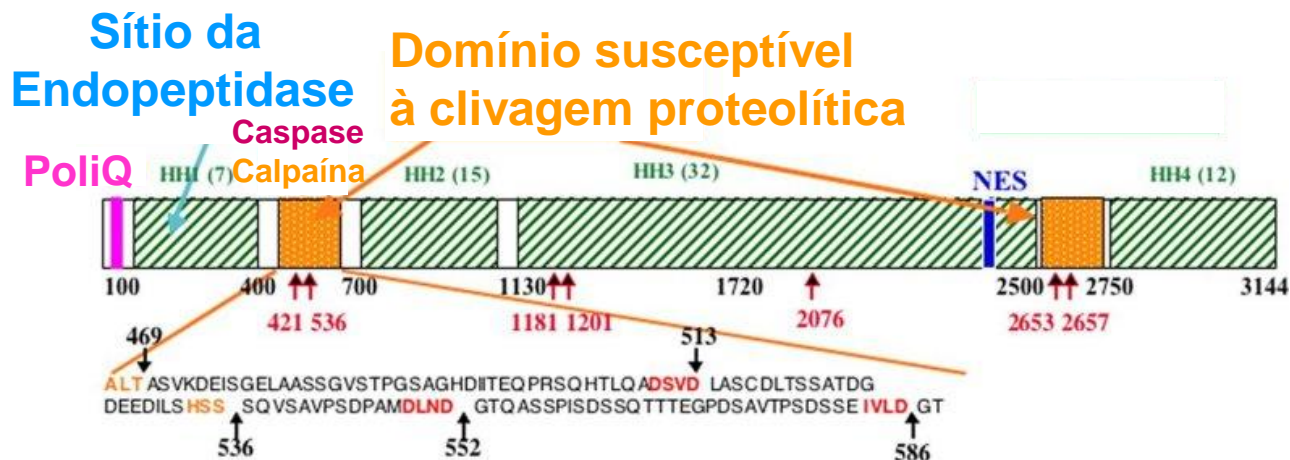
Toxicity from polyQ repeat length-dependent changes in

- Monomer conformation?
- Interactions with other molecules and cellular structures?
- Formation of oligomers and larger aggregates?

Mutação por expansão de sequências de trinucleotídeos repetidos

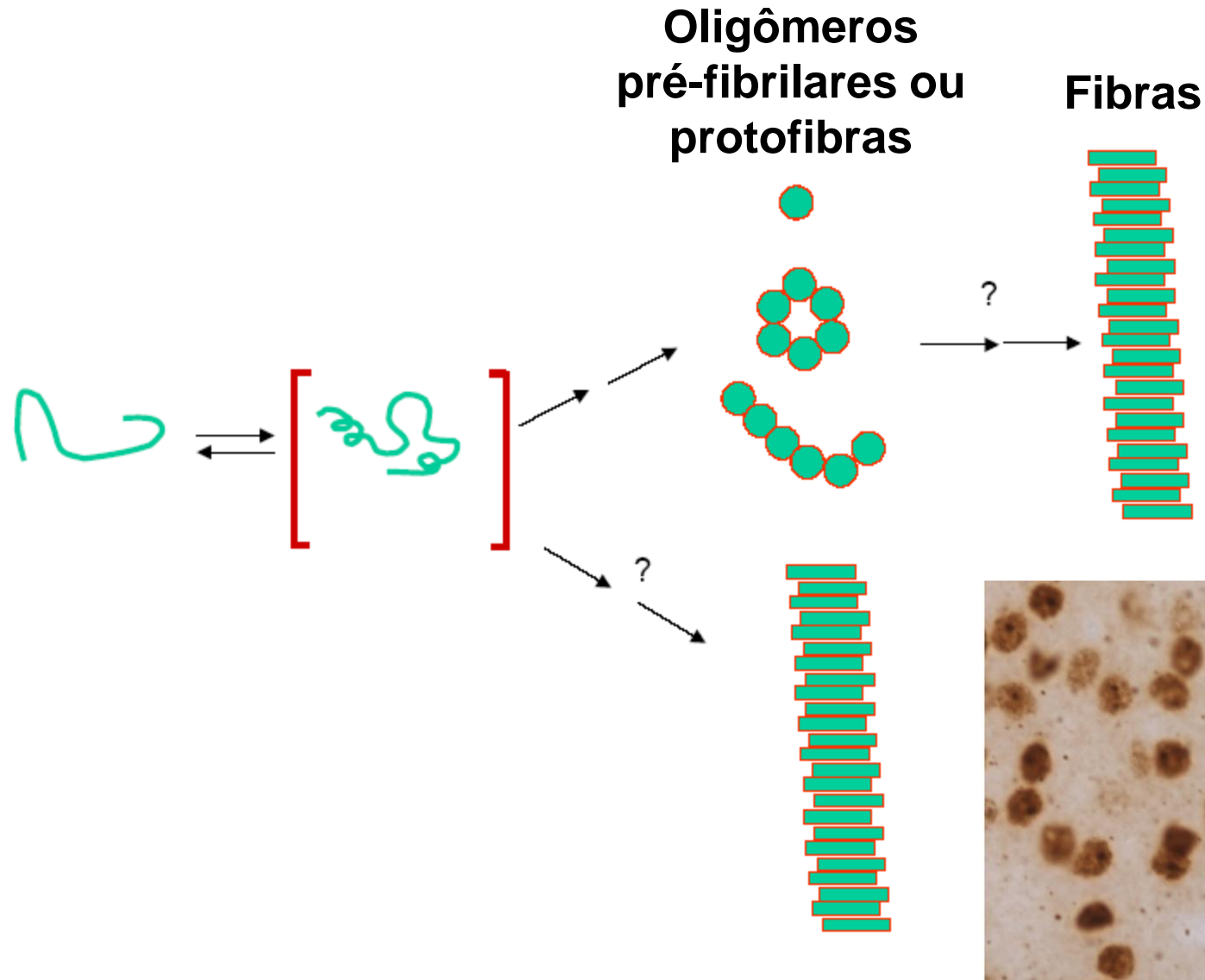


Estrutura da Huntingtina



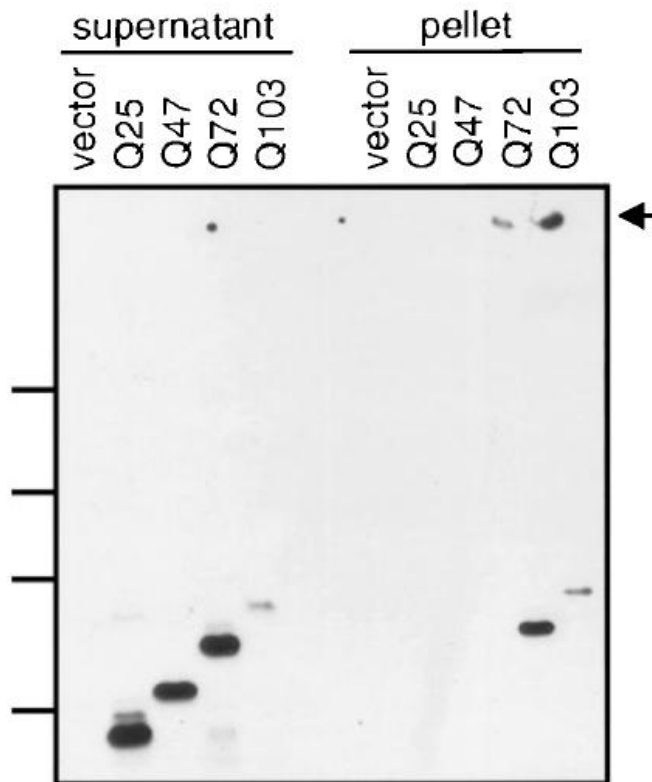
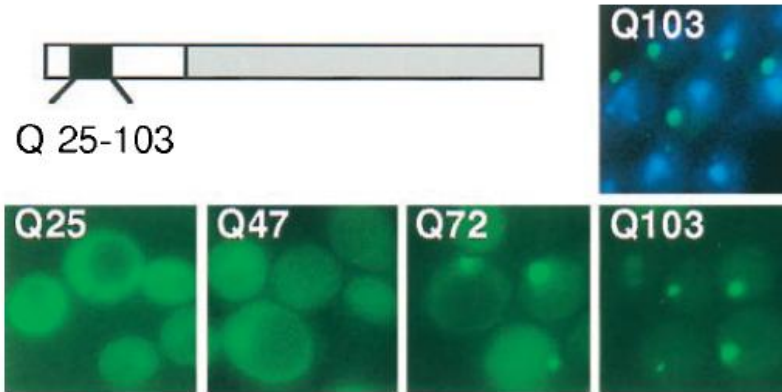
Quantidade de repetições CAG	Fenótipo
menos de 35	normal
de 36 a 39	aumenta o risco (penetrância incompleta)
mais de 40	desenvolve a doença

Mecanismo de agregação da Huntingtina

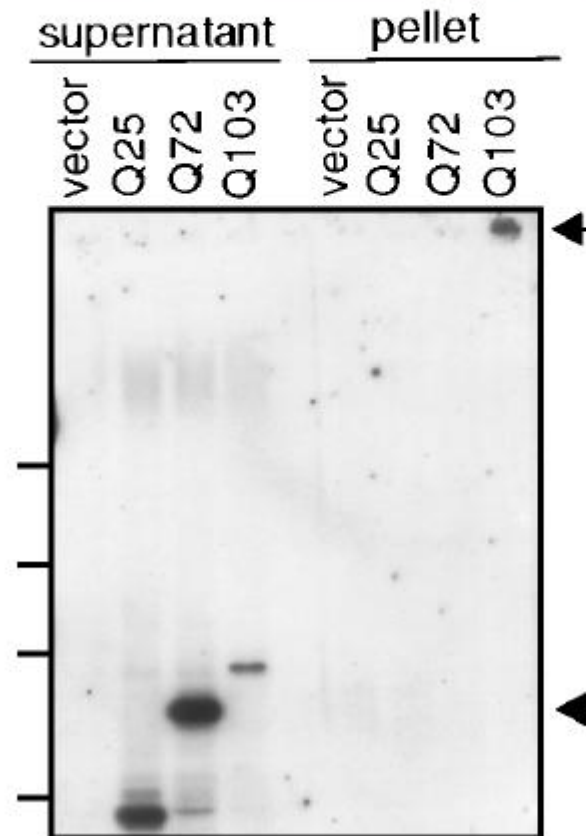
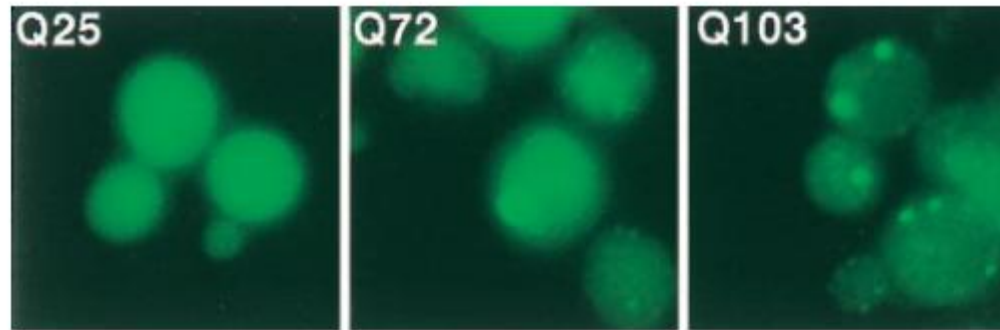


Budding yeast models for the investigation of the mutant Htt-induced toxicity

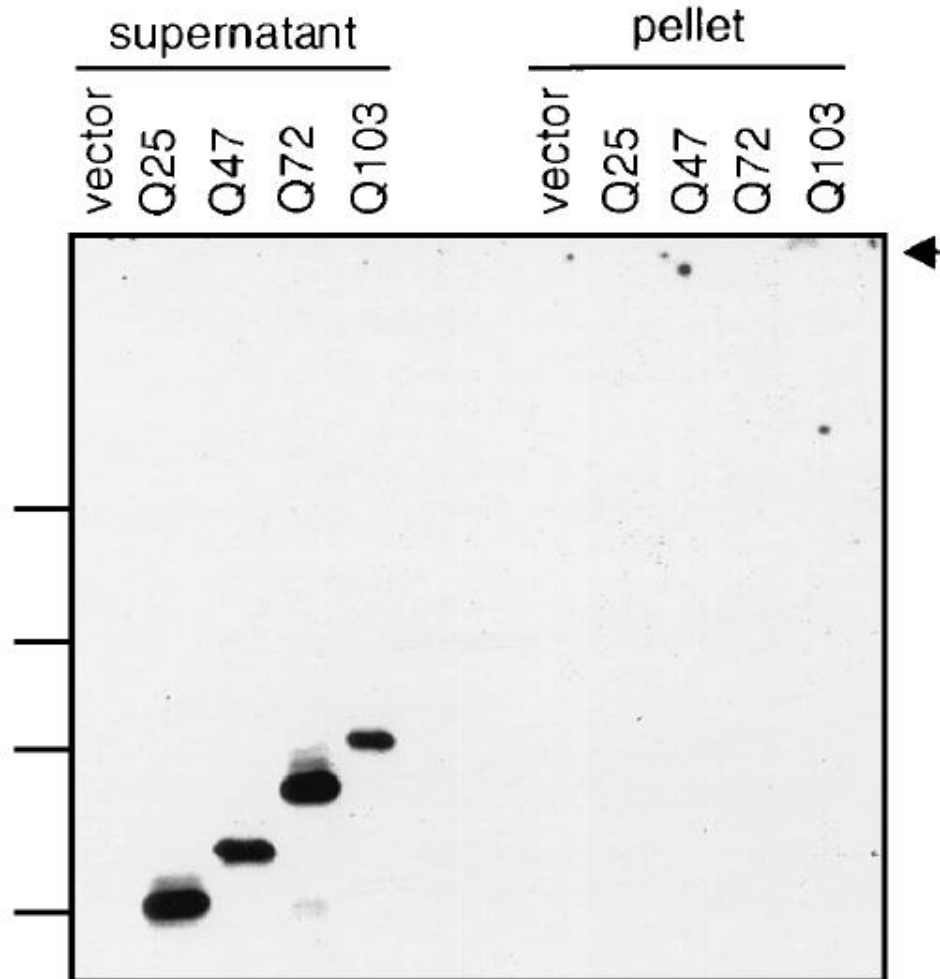
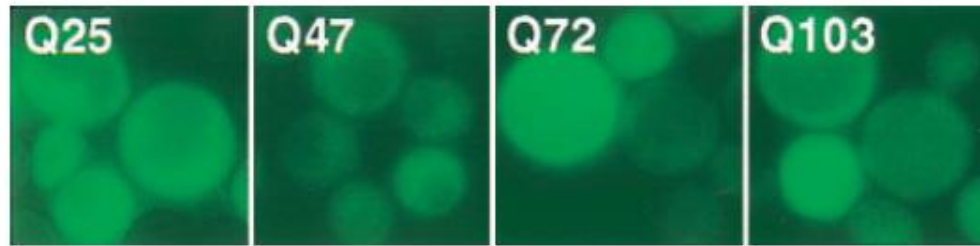
Expression of Htt fragments in yeast



Overexpression of Hsp104 reduces Htt aggregation

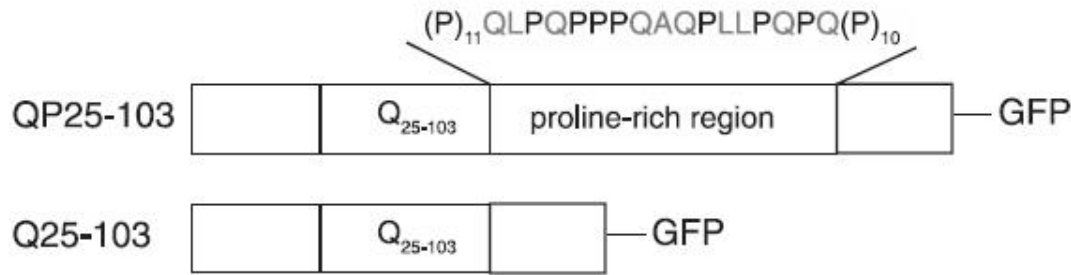


The loss of Hsp104 affects Htt aggregation

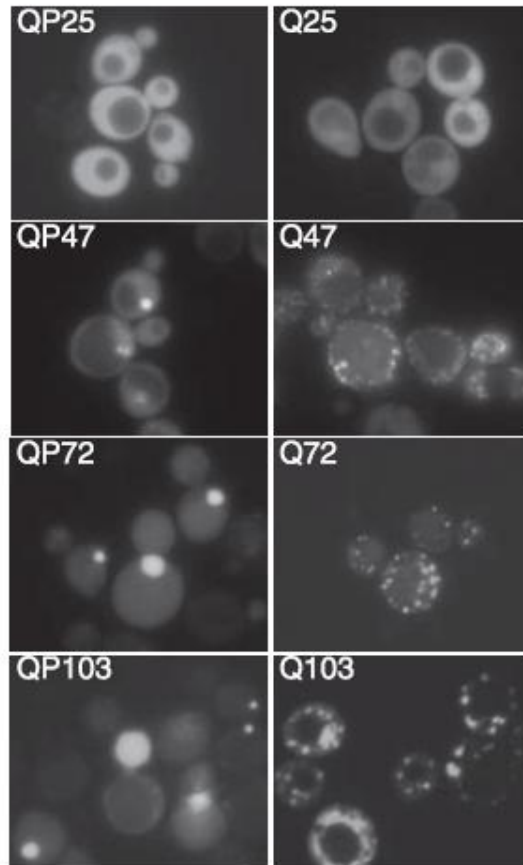


Deletion of the proline-rich region in the amino-terminal region of Htt alters aggregation of expanded poly(Q) in yeast.

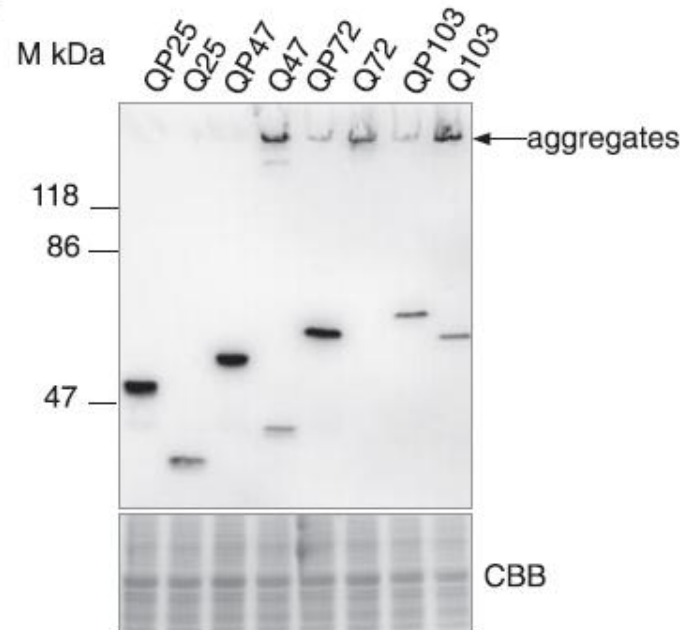
A



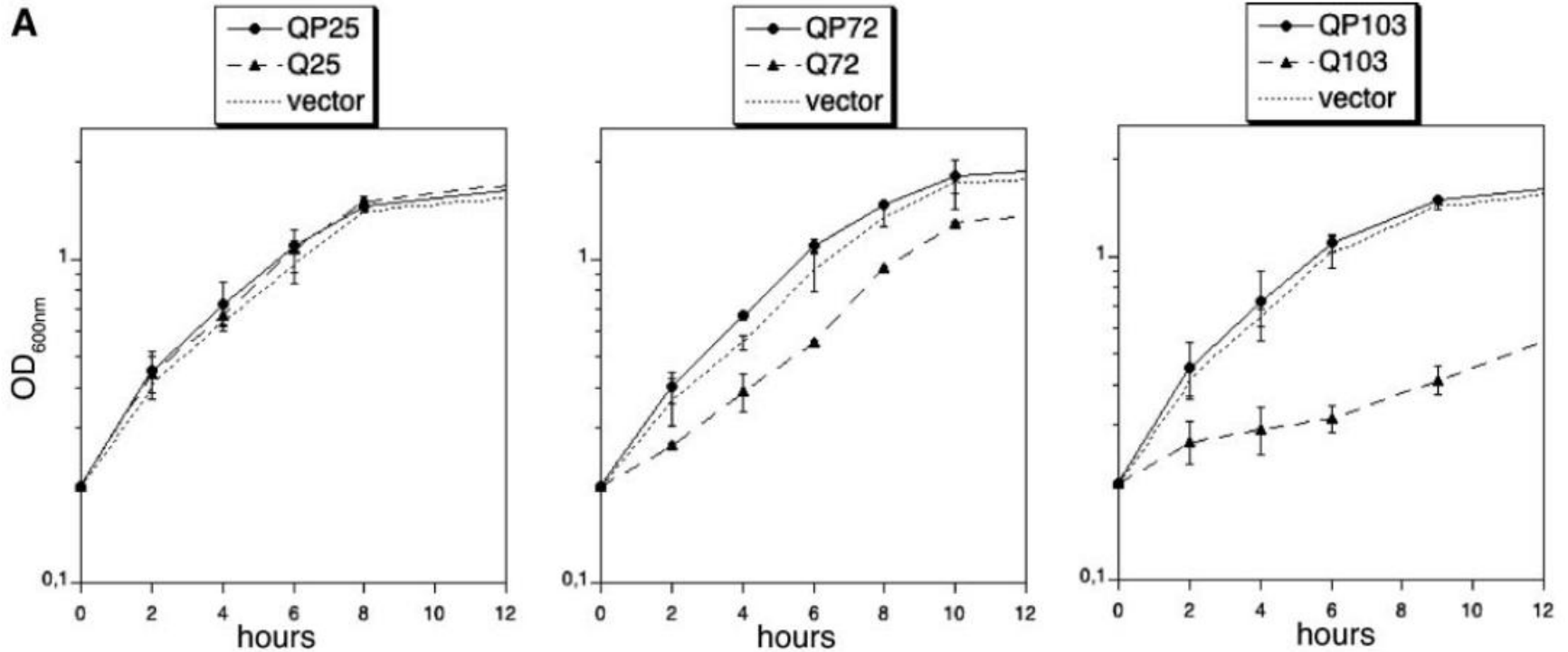
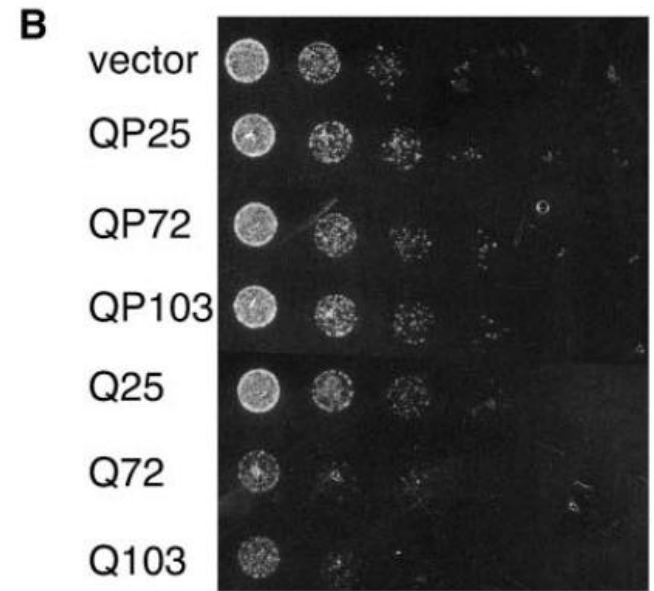
B



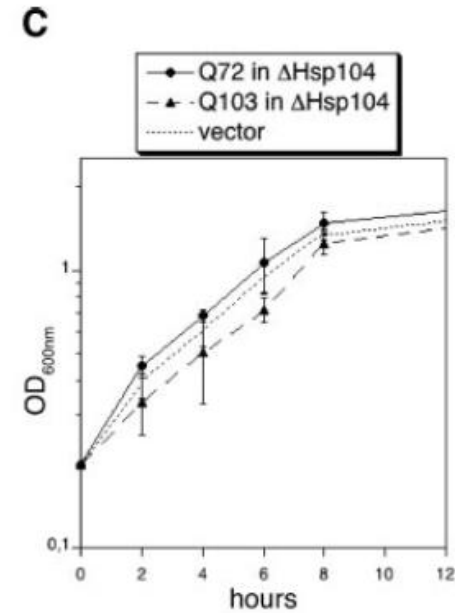
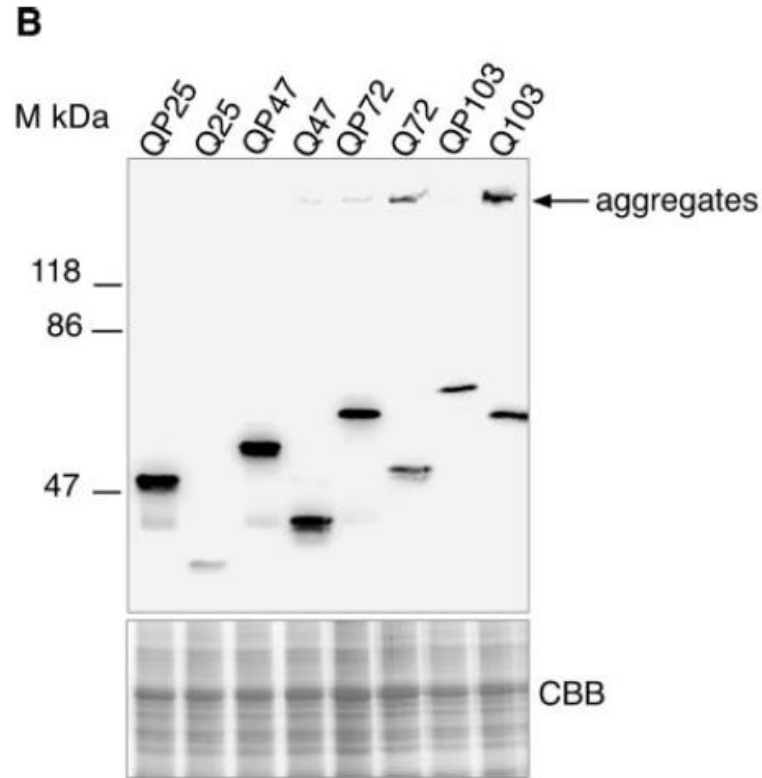
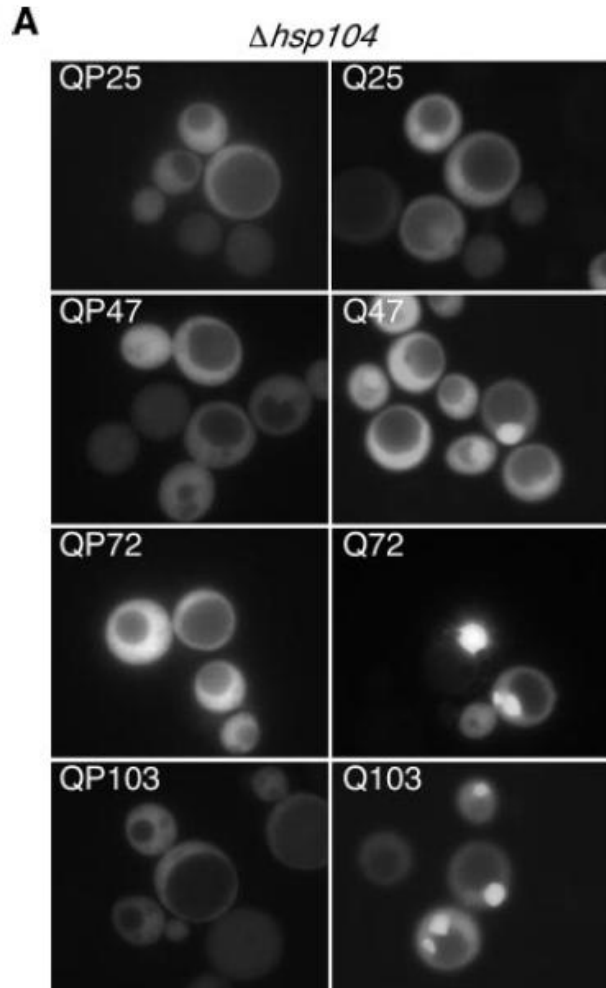
C



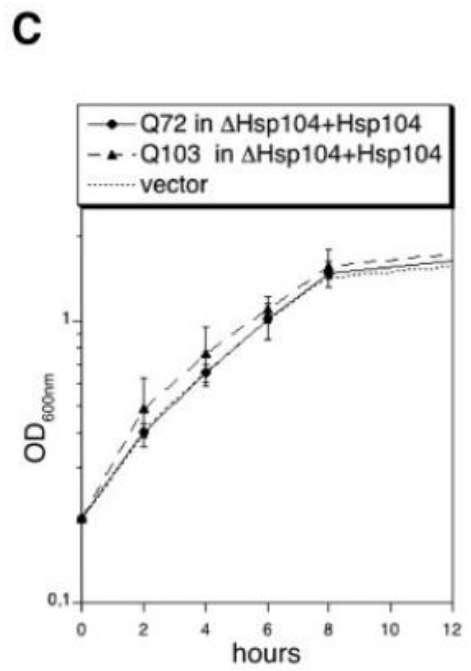
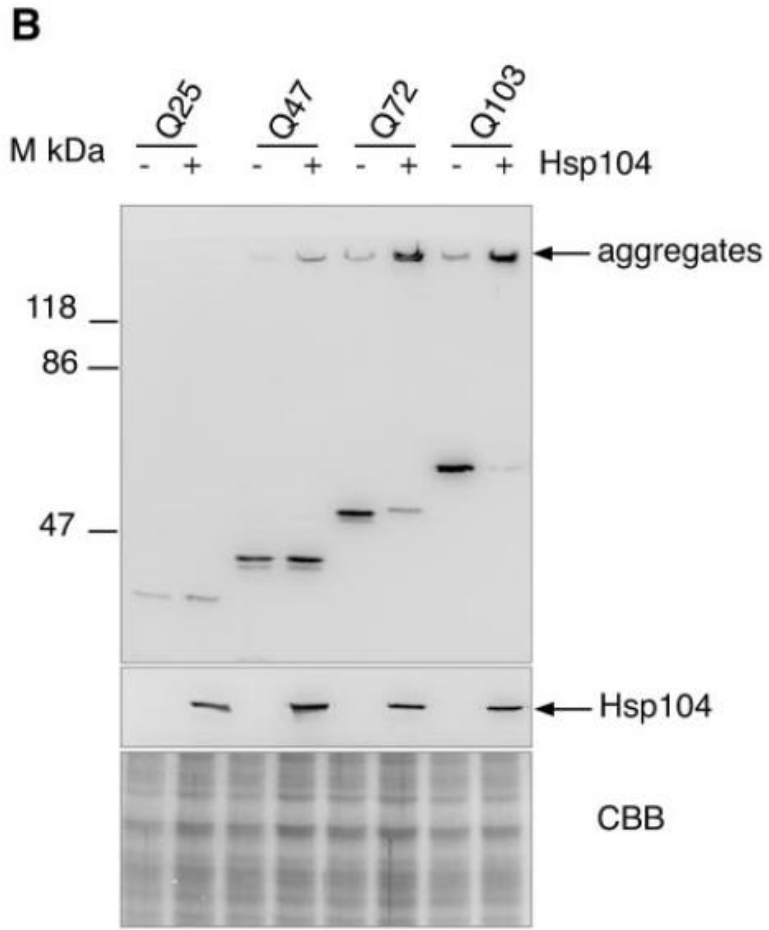
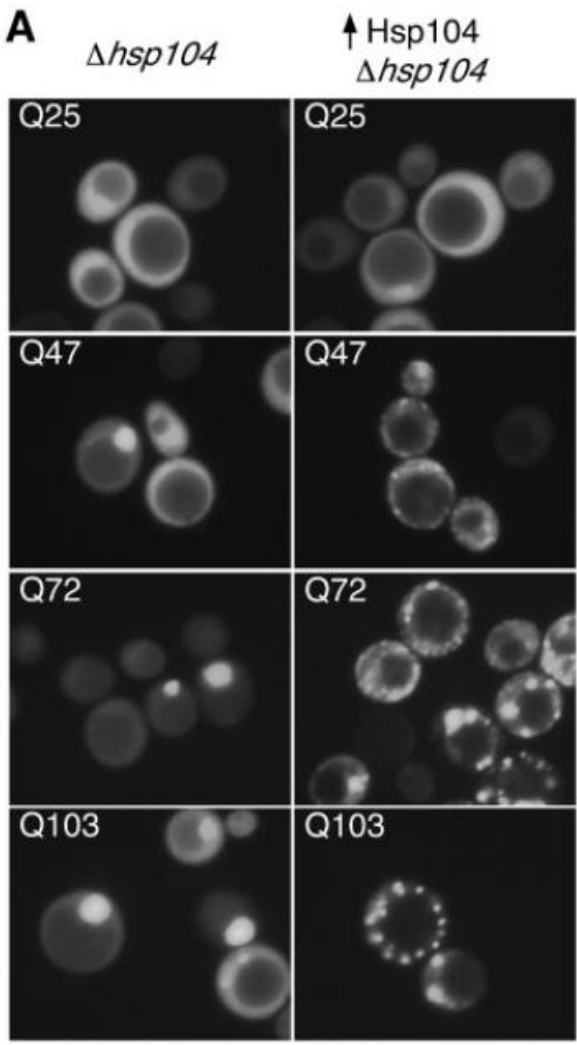
Deletion of the proline-rich region in the amino-terminal region of Htt provokes cytotoxicity of expanded poly(Q) in yeast



Deletion of the proline-rich region in the amino-terminal region of mutant Htt bypasses the requirement of Hsp104 for aggregate formation

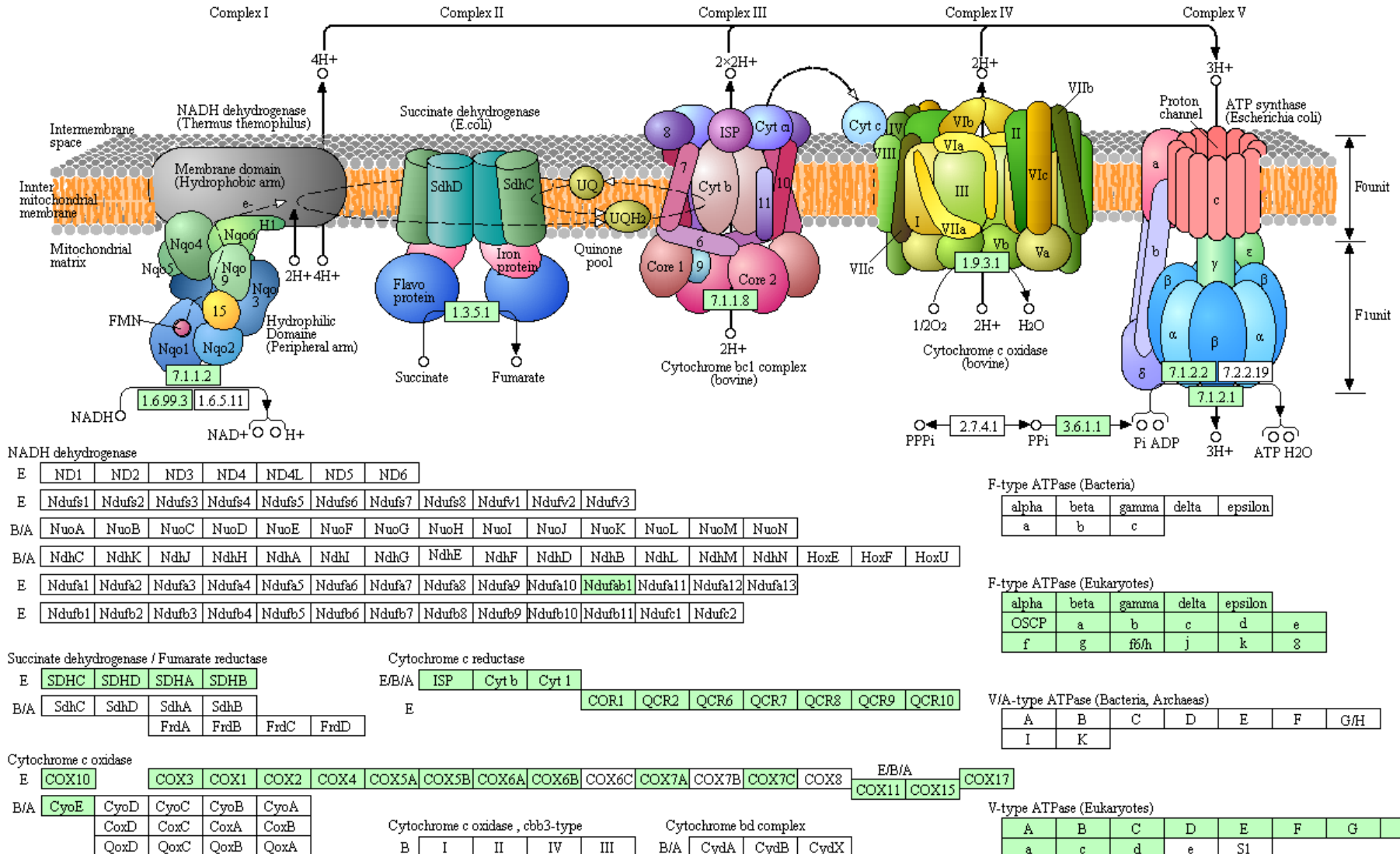


Reintroduction of Hsp104 in *hsp104*-deleted cells restores the shape of Q47, Q72, and Q103 aggregates observed in wild-type cells

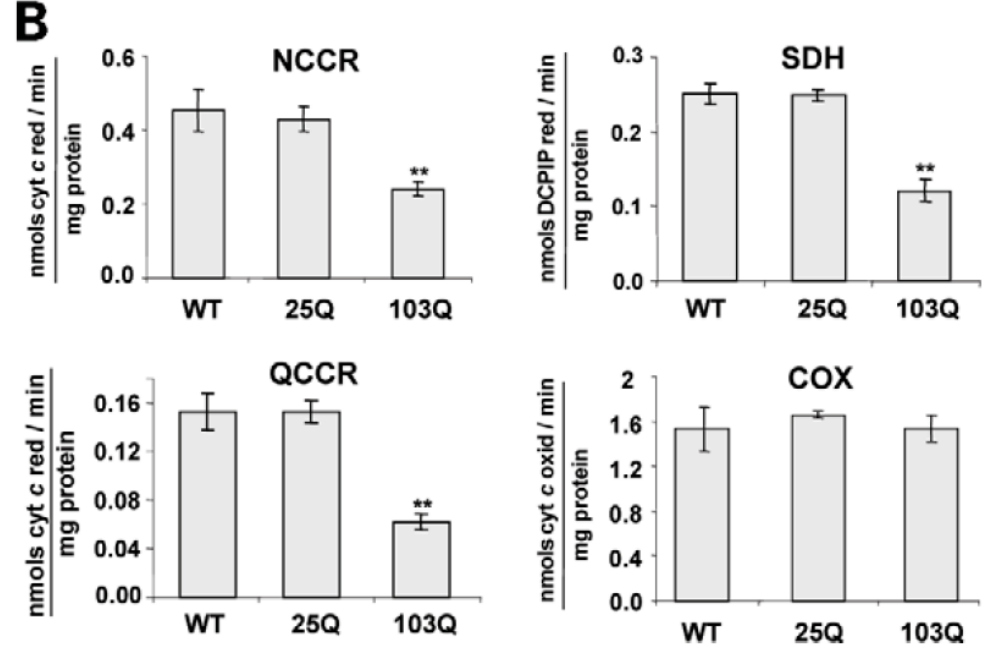
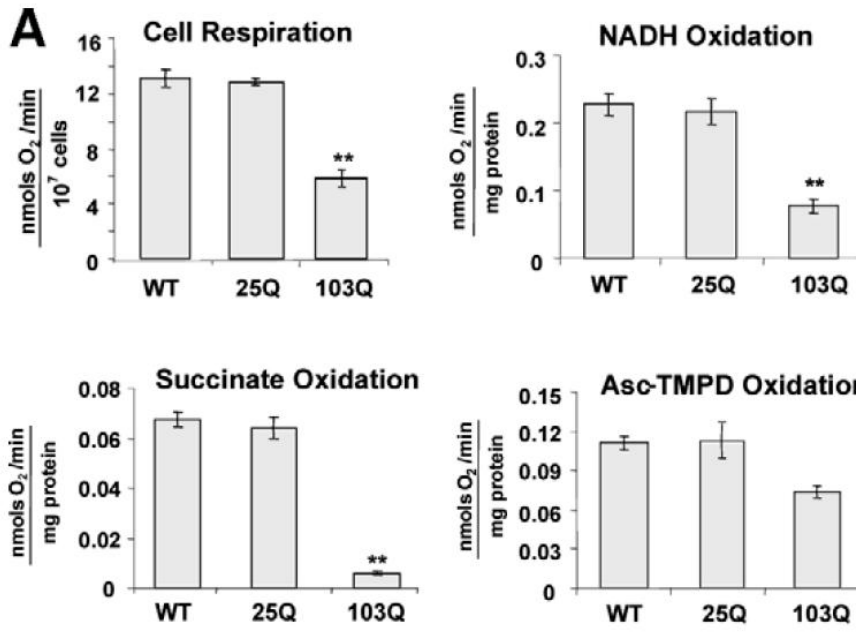


Saccharomyces cerevisiae oxidative phosphorylation complexes

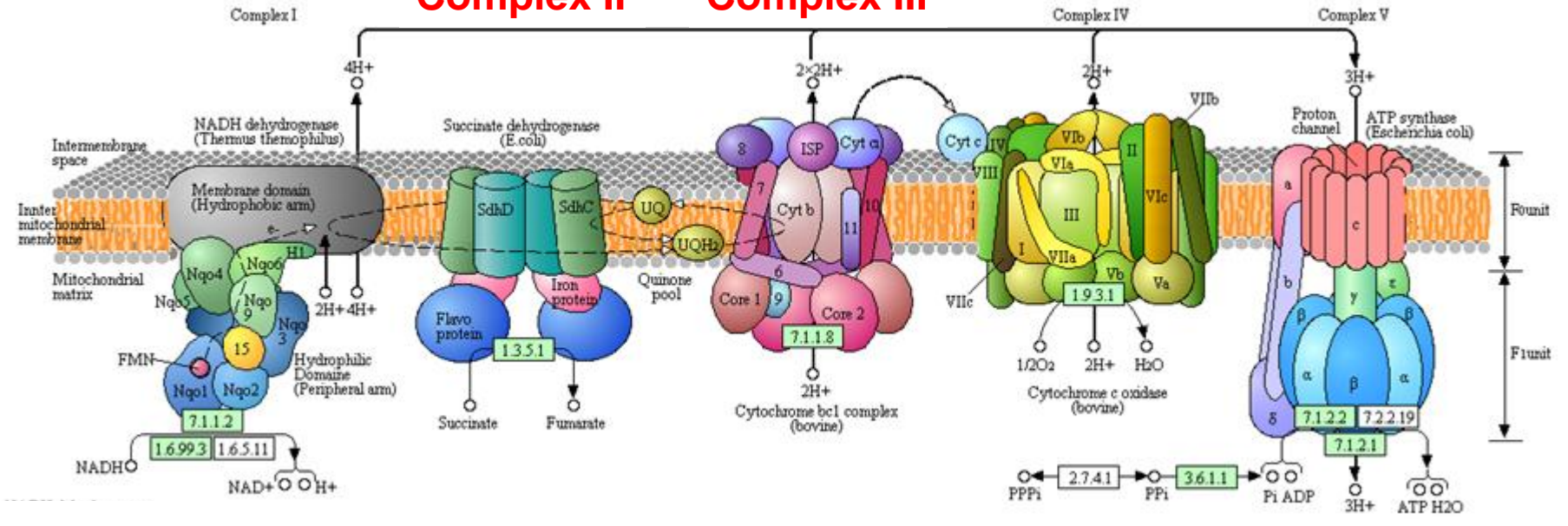
OXIDATIVE PHOSPHORYLATION



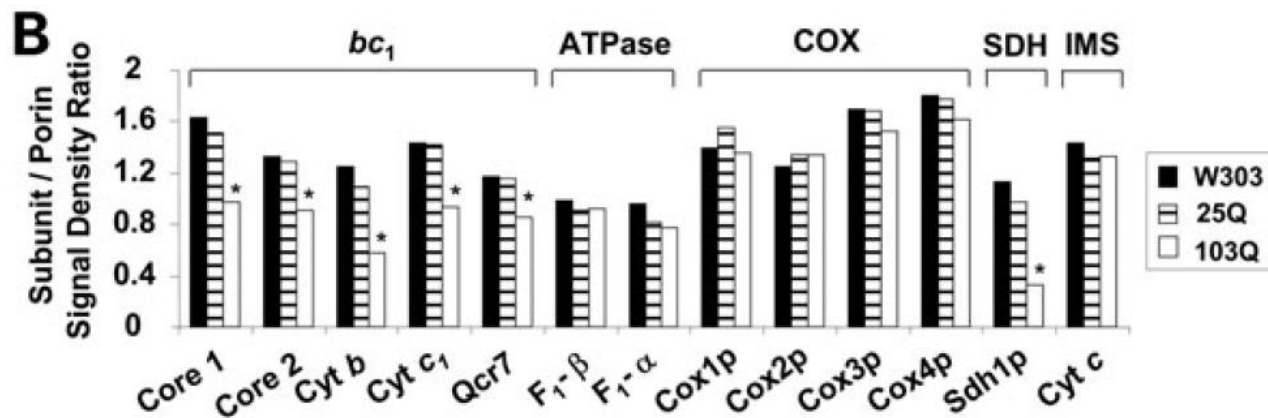
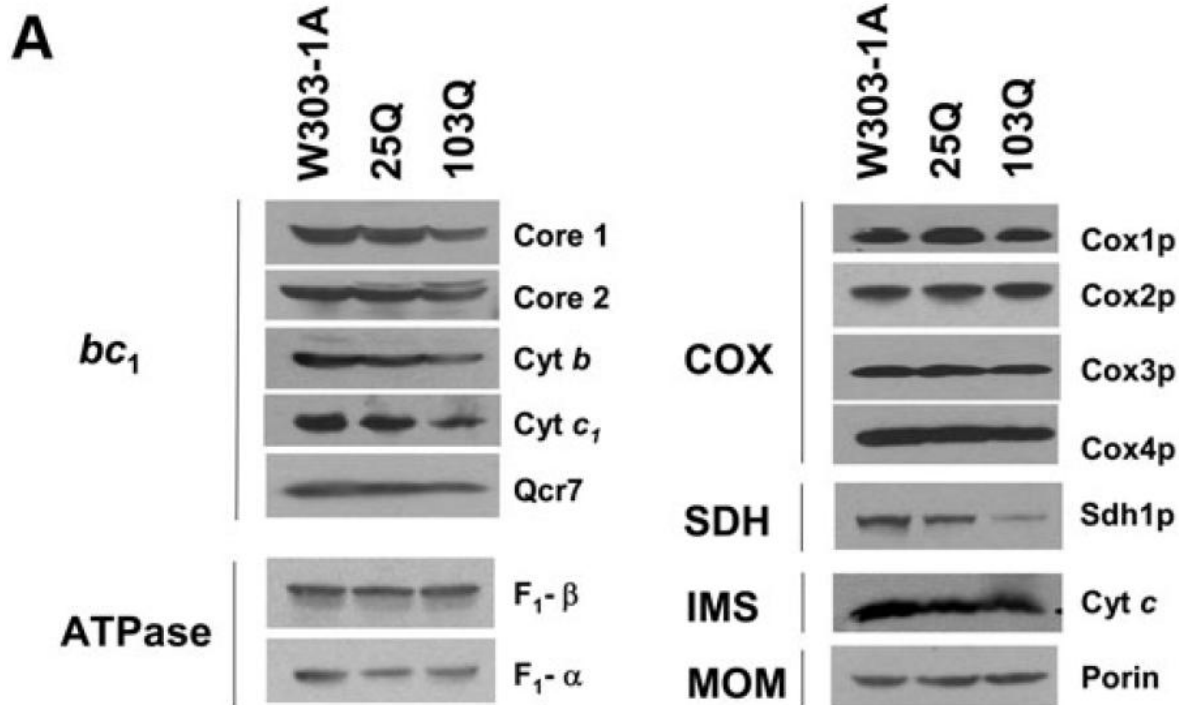
Mitochondrial functional characterization of the wild-type yeast strain W303 expressing wild-type and mutant PolyQ domains from integrative plasmids.



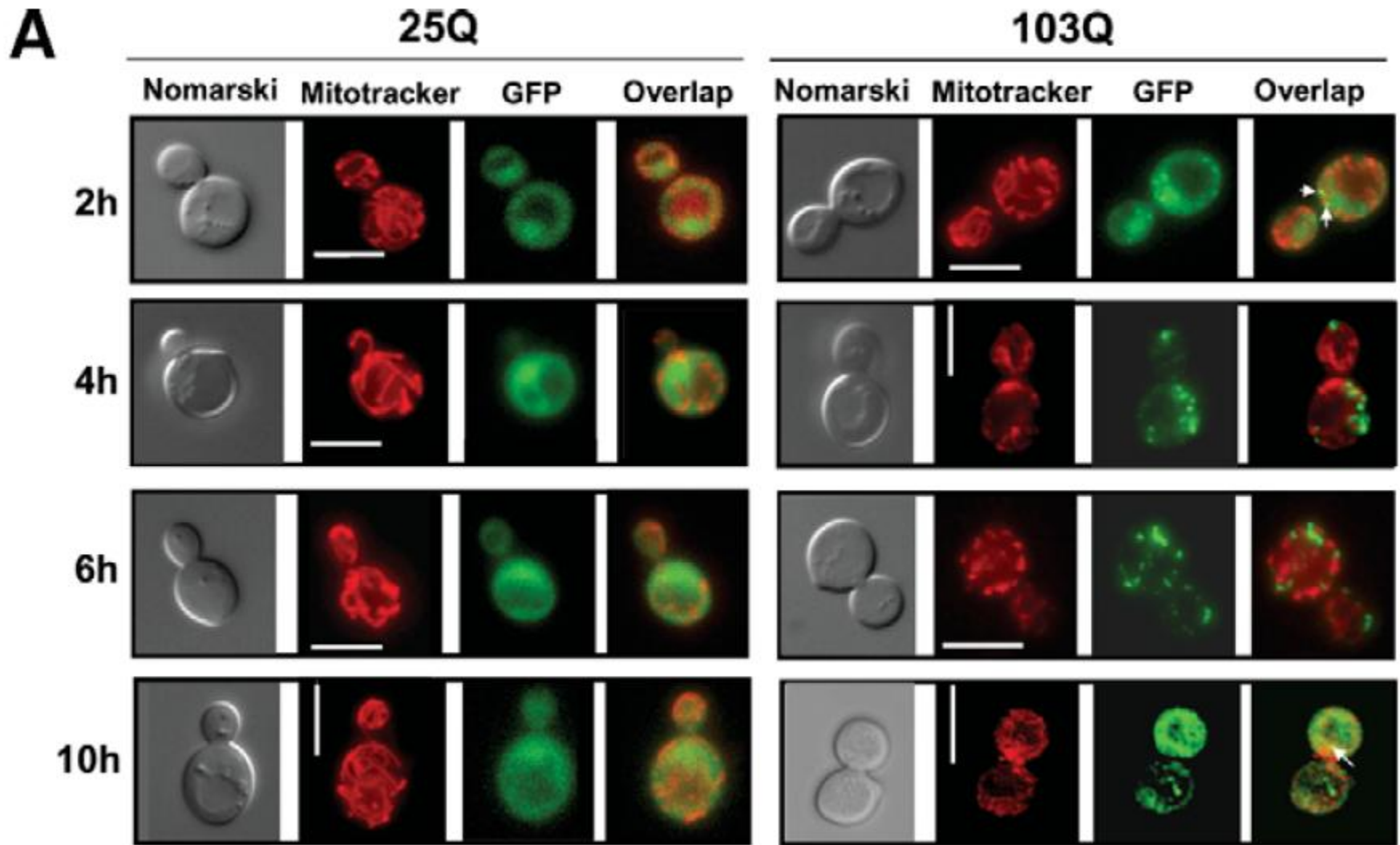
Complex II Complex III



Steady-state concentrations of mitochondrial respiratory chain components



Mitochondrial distribution is altered in cells expressing 103Q



Resumo

1. Em doenças neurodegenerativas há formação de agregados proteicos;
2. Fusão de Tau, A β 42, α -synucleína ou huntingtina com GFP mostraram formação de agregados por microscopia de fluorescência;
3. Em levedura, mostrou-se que Tau é hiperfosforilada e que a Ser409 é um determinante de sua agregação;
4. Yeast Display permitiu identificar fragmentos de anticorpos que inibem a clivagem de β APP;
5. A formação de agregados de α -synucleína depende do número de cópias expressas; os agregados são depurados majoritariamente por autofagia e a mutação S129A é mais tóxica que α -syn WT;
6. Expressão de Htt em levedura mostrou que a agregação depende de Hsp104; o PRD inibe a formação de agregados e Htt-GFP diminui as atividades dos complexos II e III da cadeia respiratória;